

Análisis Numérico No Lineal

David Villacís david.villacis@epn.edu.ec
Investigador doctoral - MODEMAT
Procesamiento matemático de imágenes.
Técnicas Machine Learning

Información
General

Horario

Lunes 14-16 } teoría
Martes 16-18 }
Viernes 14-16 } práctica

Atención a estudiantes: Lunes 9-10.

Evaluación

Por bimestre:

- > Laboratorio ~~30%~~ 30%
- > Prueba Parcial ~~35%~~ 30%
- > Prueba final ~~35%~~ 30%
- > Deberes 10%

Programación

Python: Survival Kit

Bibliografía.

- Numerical Mathematics - Quarteroni Saco Saleri SPRINGER.
- Numerical Methods for OCTAVE (Matlab) - Quarteroni SPRINGER.

Contenidos

- 1) Resolución de sistemas de ecuaciones no lineales
- 2) Aproximación de funciones (Interpolación)
- 3) Diferenciación numérica.
- 4) Integración numérica
- 4) Resolución de sistemas de ecuaciones en derivadas ordinarias

Lunes, 15 de noviembre de 2021

Aproximar un cero (raíz) de una ecuación de una variable

$$f: I = (a, b) \subseteq \mathbb{R} \rightarrow \mathbb{R}$$

Problema: Encontrar $\alpha \in \mathbb{R}$ tal que $f(\alpha) = 0$

→ Los métodos de solución son iterativos.

↳ Generar una sucesión $\{x_k\}$ tal que $\lim_{k \rightarrow \infty} x_k = \alpha$

Convergencia:

Definición 1:

Una sucesión $\{x_k\}$, $x_k \in \mathbb{R}$ generada por un método numérico se dice que converge hacia α con orden $p \geq 1$ si

$$\frac{|x_{k+1} - \alpha|}{|x_k - \alpha|^p} \leq c \quad \forall k \geq k_0 \quad (1)$$

donde k_0 es un entero suficientemente grande.

* $p=1$ necesitamos que $c < 1$ y decimos que converge linealmente

$$|x_{k+1} - \alpha| \leq c |x_k - \alpha|$$

* $p=2$ decimos que la sucesión converge cuadráticamente

$$|x_{k+1} - \alpha| \leq c |x_k - \alpha|^2$$

* Caso particular: "« convergencia super lineal »"

$$|x_{k+1} - \alpha| \leq C_k |x_k - \alpha|$$

donde $C_k \geq 0$ tal que $\lim_{k \rightarrow \infty} C_k = 0$

► Notemos que en la práctica no disponemos de α por lo tanto

► decimos que una sucesión converge con orden p si:

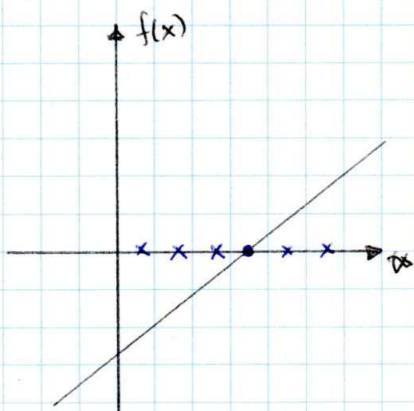
$$|x_{k+1} - x_k| \leq |x_k - x_{k-1}|^p$$

y converge super linealmente si

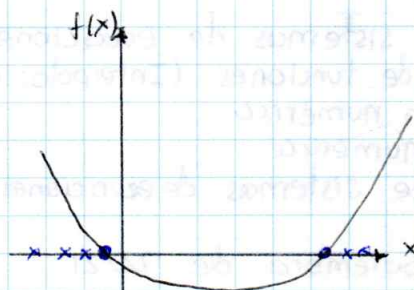
$$\lim_{k \rightarrow \infty} C_k = 0 \quad \text{y} \quad |x_{k+1} - x_k| \leq C_k |x_k - x_{k-1}|$$

Observación

A diferencia de los métodos para resolver ecuaciones lineales, estos métodos y su solución también dependen del punto de inicio



Globalmente convergente

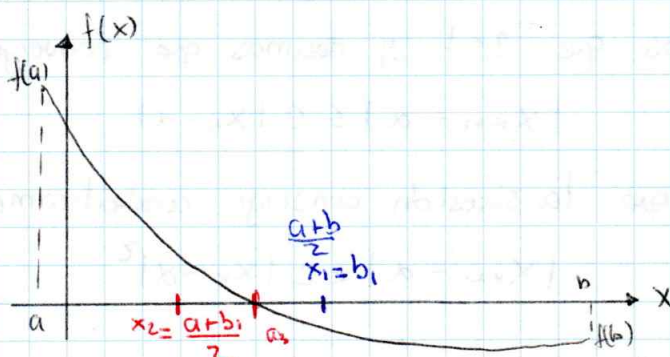
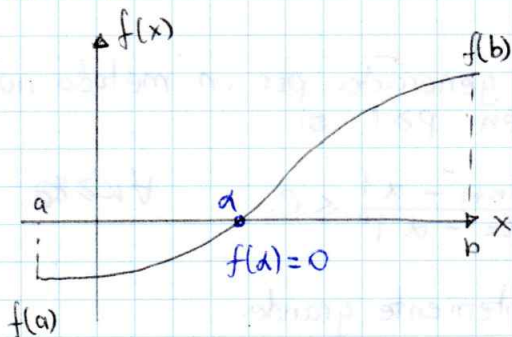


Localmente convergente

① Método de la Bisección

Lema 1 - Ceros en funciones continuas-

Sea una función $f: [a, b] \rightarrow \mathbb{R}$, continua tal que $f(a)f(b) < 0$, entonces existe un $\alpha \in (a, b)$ tal que $f(\alpha) = 0$



Algoritmo

1. Fijar el intervalo $I_0 = [a, b]$

2. $x_0 = \frac{a_0 + b_0}{2}$, $k=0$

3. WHILE (Criterio de parada no se cumple)

IF ($f(x_k) f(a_k) < 0$)

$a_{k+1} = a_k$
 $b_{k+1} = x_k$

ELIF ($f(x_k) f(b_k) < 0$)

$a_{k+1} = x_k$
 $b_{k+1} = a_k$

ELIF $f(x_k) = 0$

return x_k

$x_{k+1} = (a_{k+1} + b_{k+1})/2$

$k = k + 1$

4. RETURN x_k

CRITERIO DE PARADA $|I| < \epsilon$ $|f(x)| < \epsilon$

$$|I_0| = b - a$$

$$|I_1| = (b - a)/2$$

\vdots

$$|I_k| = \frac{b - a}{2^k}, \quad k \geq 0$$

Si definimos el error absoluto de la siguiente manera

$$e_k = x_k - x$$

$$|e_k| = |x_k - x| \leq |I_k| = \frac{b - a}{2^k}$$

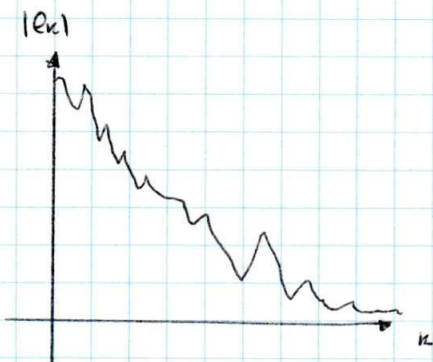
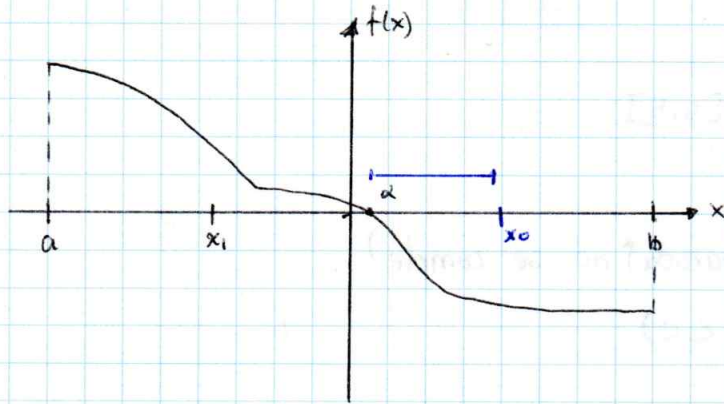
$$\lim_{k \rightarrow \infty} |e_k| = 0$$

→ ¿Qué pasa con dos iteraciones consecutivas

$$|x_{k+1} - x| \sim |x_k - x|$$

↳ No podemos garantizar el descenso monótono del error

$$|e_{k+1}| \neq H_k |e_k|$$



Intuición
Utilizar información de la derivada?

$$f(\alpha) = 0 = f(x) + (\alpha - x)f'(\xi) \quad \xi \in (\alpha, x)$$

Esta aproximación por series de Taylor inspira a una familia de métodos

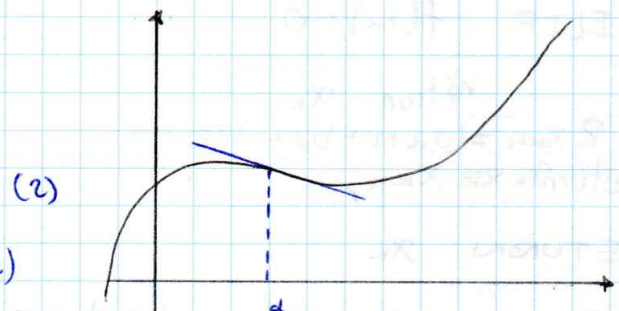
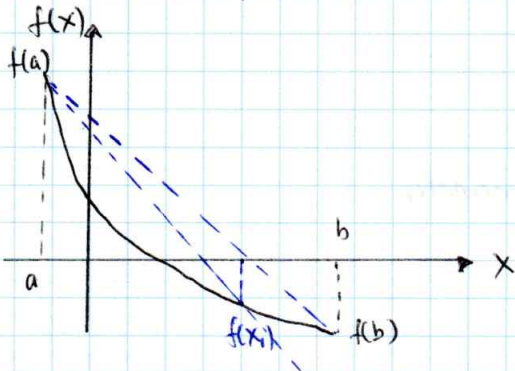
$$0 = f(x_k) + (x_{k+1} - x_k) q_k$$

donde q_k es la aproximación de $f'(x_k)$

Reescribiendo

$$\rightarrow x_{k+1} q_k - x_k q_k + f(x_k) = 0$$

$$x_{k+1} q_k = x_k q_k - f(x_k)$$



Método de la cuerda

$$q_k = q = \frac{f(b) - f(a)}{b - a} \quad \forall k \geq 0$$

$$x_{k+1} = x_k - \frac{f(x_k)}{q_k} \quad \forall k \geq 0 \quad (3)$$

Secante

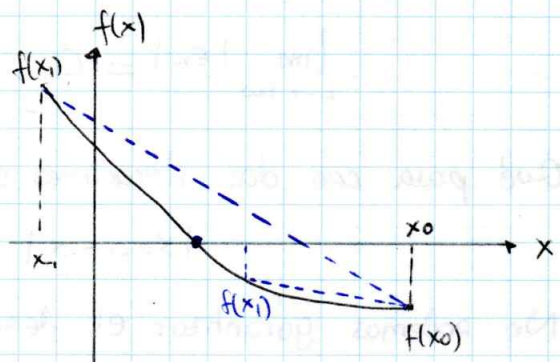
$$q_k = \frac{f(x_k) - f(x_{k-1})}{x_k - x_{k-1}} \quad \forall k \geq 0$$

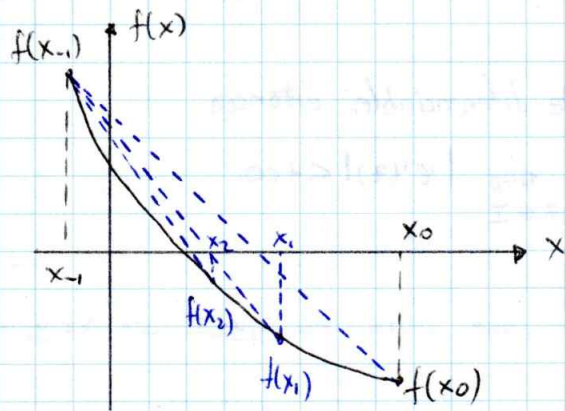
• Necesitamos dos valores iniciales x_{-1}, x_0

Regla Falso

$$q_k = \frac{f(x_k) - f(x_{k'})}{x_k - x_{k'}} \quad k \geq 0$$

donde k' es el índice donde $f(x_k)f(x_{k'}) < 0$

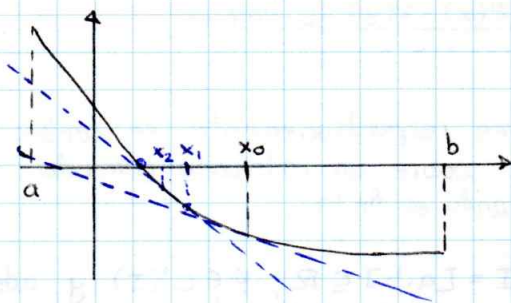




• Newton

$$g_k = f'(x_k)$$

$$(4) \quad x_{k+1} = x_k - \frac{f(x_k)}{f'(x_k)}$$



Martes, 16 de noviembre de 2021

Punto fijo
Introducción

$f(x) = 0$: x un cero de $f \Leftrightarrow x - \varphi(x) = 0$: x es un punto fijo de φ

En general, se pueden resolver los siguientes problemas de punto fijo usando el siguiente esquema iterativo.

$$x_{k+1} = \varphi(x_k), \quad k \geq 0$$

Para un f dado puede que existan varios φ

Ejemplo:

$$f(x) = 2x - \tan(x) = 0 \Rightarrow x = \frac{\tan(x)}{2} = \varphi_1(x)$$

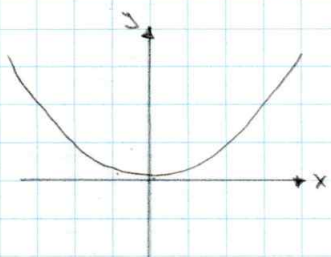
o

$$\tan(x) = 2x \Rightarrow x = \arctan(2x) = \varphi_2(x)$$

$$x_0 = 1.2$$

	$\varphi_1(x)$	$\varphi_2(x)$
0	1.2	1.2
1	1.286	1.17
2	1.707	1.167
3	-3.64	1.166

\Rightarrow Globalmente Lipschitz



$$\varphi(x) < 1$$

cambia dep del x

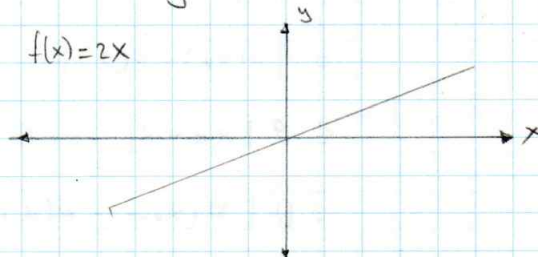
Definición - Contractividad-

Sea $I = [a, b] \subseteq \mathbb{R}$ y $\varphi: I \rightarrow \mathbb{R}$. Decimos que φ es contractiva si

$$|\varphi(x) - \varphi(y)| \leq \theta |x - y| \quad \forall x, y \in I$$

con $0 \leq \theta < 1$.

\Rightarrow Ejemplo



Lunes, 22 de noviembre de 2021

Lema: Sea $\varphi: I \rightarrow \mathbb{R}$ una función continuamente diferenciable, entonces

$$\sup_{x, y \in I} \frac{|\varphi(x) - \varphi(y)|}{|x - y|} = \sup_{z \in I} |\varphi'(z)| < +\infty$$

Demostración:

Aplicando el teorema del valor medio, sabemos que para todo $x, y \in I$ con $x < y$, existe un $\psi \in]x, y[$ tal que

$$\varphi(x) - \varphi(y) = \varphi'(\psi)(x - y)$$

$$\Leftrightarrow \left| \frac{\varphi(x) - \varphi(y)}{x - y} \right| = |\varphi'(\psi)|$$

Tomando el supremo respectivamente en ambos lados se obtiene el resultado. Notar que φ' continua definida sobre un intervalo cerrado entonces alcanza su máximo/mínimo dentro del intervalo por lo tanto es finito.

Teorema. Sea $I = [a, b] \subseteq \mathbb{R}$, $\varphi \in C^1(I)$ y además $\varphi: I \rightarrow I$ una aplicación contractiva con constante $\theta < 1$, entonces

1. Existe un único punto fijo de φ
2. Para todo valor $x_0 \in I$ la iteración de punto fijo $x_{k+1} = \varphi(x_k)$ converge a d con la siguiente tasa.

$$\lim_{k \rightarrow +\infty} \frac{x_{k+1} - d}{x_k - d} = \varphi'(x)$$

Demostración

① Asumiendo que existen 2 puntos fijos $d_1, d_2 \in [a, b]$ tal que $\varphi(d_1) = d_1$ y $\varphi(d_2) = d_2$,

$$\begin{aligned} |d_1 - d_2| &= |\varphi(d_2) - \varphi(d_1)| = |\theta| |d_2 - d_1| \\ &\leq |\theta| |d_2 - d_1| \\ &< |d_2 - d_1| \end{aligned}$$

con $\varphi \in]d_2, d_1[$, por lo tanto $d_1 = d_2 = d$.

② Para $k \geq 0$

$$\begin{aligned} |x_{k+1} - d| &= |\varphi(x_k) - d| \\ &= |\varphi(x_k) - \varphi(d)| \\ &\leq \theta |x_k - d| = \theta |\varphi(x_{k-1}) - \varphi(d)| \leq \theta^2 |x_{k-1} - d| \\ &= \theta^2 |\varphi(x_{k-2}) - \varphi(d)| \leq \theta^3 |x_{k-2} - d| \leq \dots \leq \theta^{k+1} |x_0 - d| \end{aligned}$$

si $k \rightarrow +\infty$, entonces la sucesión converge a d .

Para la tasa de convergencia

$$\lim_{k \rightarrow +\infty} \frac{x_{k+1} - d}{x_k - d} = \lim_{k \rightarrow +\infty} \frac{\varphi(x_k) - \varphi(d)}{x_k - d}$$

Por el lema (2), sabemos que

$$\lim_{k \rightarrow +\infty} \frac{\varphi(x_k) - \alpha}{x_k - \alpha} = \varphi'(\alpha)$$

Nota: A la cantidad $|\varphi'(\alpha)|$ se la conoce como factor de convergencia asintótica.
La tasa de convergencia asintótica

$$P = -\log\left(\frac{1}{|\varphi'(\alpha)|}\right)$$

Observación Asumamos que $\varphi \in C^p(I)$ y además asumamos que $\varphi^{(k)} = 0$ para todo $k = 1, \dots, p-1$

$$\begin{aligned} x_{k+1} = \varphi(x_k) &= \varphi(\alpha) + \varphi'(\alpha)(x_k - \alpha) + \frac{1}{2} \varphi''(\alpha)(x_k - \alpha)^2 + \dots + \\ &\quad \frac{1}{(p-1)!} \varphi^{(p-1)}(\alpha)(x_k - \alpha)^{p-1} + \frac{1}{p!} \varphi^{(p)}(\alpha)(x_k - \alpha)^p + \\ &\quad O(\|x_k - \alpha\|^p) \end{aligned}$$

entonces

$$x_{k+1} = \varphi(x_k) = \varphi(\alpha) + \frac{1}{p!} \varphi^{(p)}(\alpha) (x_k - \alpha)^p + O(\|x_k - \alpha\|^{p+1})$$

$$\frac{x_{k+1} - \alpha}{(x_k - \alpha)^p} = \frac{1}{p!} \varphi^{(p)}(\alpha) + O(\|x_k - \alpha\|)$$

Tomando el límite $k \rightarrow +\infty$ $\varphi^{(p)}(\alpha) \neq 0$

$$\lim_{k \rightarrow +\infty} \frac{x_{k+1} - \alpha}{x_k - \alpha} = \frac{1}{p!} \varphi^{(p)}(\alpha)$$

Análisis del método de la cuerda.

$$\begin{aligned} x_{k+1} &= x_k - g' f(x_k) \\ &= x_k - \frac{b-a}{f(b)-f(a)} f(x_k) \\ &\quad \underbrace{\hspace{1.5cm}}_{\varphi} \\ &= \varphi(x_k) \end{aligned}$$

Para la cuerda

$$\varphi(x) = x - \frac{b-a}{f(b)-f(a)} f(x)$$

Derivando φ

$$\varphi'(x) = 1 - \frac{b-a}{f(b)-f(a)} f'(x)$$

Si $f'(\alpha) = 0$, entonces $\varphi'(x) \leq 1$ y en este caso el método no converge

$$|\varphi'(\alpha)| < 1 \Leftrightarrow \left| 1 - \frac{b-a}{f(b)-f(a)} f'(\alpha) \right| < 1$$

$$\Leftrightarrow -1 < 1 - \frac{f'(\alpha) b - a}{f(b) - f(a)} < 1$$

$$\Rightarrow -2 < -\frac{f'(\alpha) b - a}{f(b) - f(a)} < 0$$

$$\Rightarrow \frac{f'(\alpha) b - a}{f(b) - f(a)} > 0$$

$$2 \frac{(f(b) - f(a))}{b - a} > b - a > 0$$

Análisis del método de Newton

$$x_{k+1} = x_k - \frac{f(x_k)}{f'(x_k)}$$

$$\varphi_N(x) = x - \frac{f(x)}{f'(x)}$$

$$\varphi'_N(x) = 1 - \frac{f'(x)f'(x) - f(x)f''(x)}{(f'(x))^2}$$

$$= 1 - \frac{(f'(x))^2 - f(x)f''(x)}{(f'(x))^2}$$

$$= 1 - 1 + \frac{f(x)f''(x)}{(f'(x))^2}$$

$$= \frac{f(x)f''(x)}{(f'(x))^2}$$

Para que la iteración esté bien definida, necesitamos asumir que $f'(x) \neq 0$ en una vecindad de α

Evalando en α

$$* \varphi'_N(\alpha) = \frac{f(\alpha)f''(\alpha)}{(f'(\alpha))^2} = 0$$

Derivando nuevamente

$$\varphi''_N(x) = \frac{(f'(x)f'''(x) + f(x)f''''(x))(f'(x))^2 - 2(f(x)f''(x))f'(x)f''(x)}{(f'(x))^4}$$

$$= \frac{(f'(x))^3 f'''(x) + f(x)(f'(x))^2 f''''(x) - 2f(x)f'(x)(f''(x))^2}{(f'(x))^4}$$

$$= \frac{f'''(x)}{f'(x)} + \frac{f(x)f''''(x)}{(f'(x))^2} - \frac{2f(x)f''(x)^2}{(f'(x))^3}$$

$$\varphi''_N(\alpha) = \frac{f'''(\alpha)}{f'(\alpha)} + \frac{f(\alpha)f''''(\alpha)}{(f'(\alpha))^2} - \frac{2f(\alpha)(f''(\alpha))^2}{(f'(\alpha))^3}$$

$$= \frac{f'''(\alpha)}{f'(\alpha)} \quad \text{si } f''(\alpha) \neq 0, \text{ entonces } \varphi''_N(\alpha) \neq 0.$$

\therefore Por lo tanto, el método de Newton tiene una convergencia cuadrática local.

Tarea: En el caso de que α tenga una multiplicidad $\alpha > 1$, el método de Newton no presenta una convergencia cuadrática.

Martes, 23 de noviembre de 2021 (Aceleración de Aitken)

\rightarrow Asumamos que tenemos una iteración de punto fijo

$$x_k = \varphi(x_{k-1}) \quad k=1, \dots$$

* Si la sucesión $\{x_k\}$ converge linealmente a un punto fijo α de φ . Gracias a que

$$\lim_{k \rightarrow \infty} \frac{x_{k+1} - \alpha}{x_k - \alpha} = \varphi'(\alpha),$$

entonces sabemos que para un k dado, debe existir un λ tal que

$$\varphi(x_k) - \alpha = \lambda (x_k - \alpha) \quad (1)$$

Idea: Definir un nuevo valor x_{k+1} que es mejor aproximación de α que $\varphi(x_k)$

De (1) sabemos que

$$\varphi(x_k) - d = \lambda x_k - \lambda d \Leftrightarrow \varphi(x_k) - \lambda x_k = d - \lambda d = d(1-\lambda)$$

$$\alpha = \frac{\varphi(x_k) - \lambda x_k}{1-\lambda} = \frac{\varphi(x_k) - \lambda x_k + x_k - \lambda x_k}{1-\lambda}$$

$$= \frac{(\varphi(x_k) - x_k) + x_k(1-\lambda)}{1-\lambda}$$

$$x_{k+1} = \varphi(x_k)$$

$$\Rightarrow \alpha = x_k + \frac{(\varphi(x_k) - x_k)}{1-\lambda} \quad (3) \quad x_{k+1} = \left(x_k + \frac{\varphi(x_k) - x_k}{1-\lambda} \right)$$

e Aitken

► Aitken genera una sucesión de $\{\lambda_k\}$ de la siguiente forma.

$$\lambda_k = \frac{\varphi(\varphi(x_k)) - \varphi(x_k)}{\varphi(x_k) - x_k} \quad (2)$$

Lema: Si tenemos una sucesión $x_{k+1} = \varphi(x_k)$ que converge hacia d , entonces

$$\lim_{k \rightarrow +\infty} \lambda_k = \varphi'(d).$$

Demostración:

Si $x_{k+1} = \varphi(x_k)$, entonces $x_{k+2} = \varphi(\varphi(x_k))$ y por lo tanto, por (2), sabemos que

$$\lambda_k = \frac{x_{k+2} - x_{k+1}}{x_{k+1} - x_k} = \frac{x_{k+2} - d - x_{k+1} + d}{x_{k+1} - d - x_k + d} = \frac{(x_{k+2} - d) - (x_{k+1} - d)}{(x_{k+1} - d) - (x_k - d)} = \frac{(x_{k+2} - d) - 1}{(x_{k+1} - d) - 1} = \frac{(x_{k+2} - d) - 1}{1 - \frac{(x_k - d)}{(x_{k+1} - d)}}$$

Ahora, tomando el límite $k \rightarrow +\infty$, se tiene que

$$\lim_{k \rightarrow +\infty} \lambda_k = \frac{\varphi'(d) - 1}{1 - \frac{1}{\varphi'(d)}} = \varphi'(d).$$

Si utilizamos (2) para generar un método iterativo basado en (3)

$$x_{k+1} = x_k + \frac{\varphi(x_k) - x_k}{1 - \lambda_k} = x_k + \frac{\varphi(x_k) - x_k}{1 - \frac{\varphi(\varphi(x_k)) - \varphi(x_k)}{\varphi(x_k) - x_k}} = x_k + \frac{(\varphi(x_k) - x_k)^2}{\varphi(x_k) - x_k - \varphi(\varphi(x_k)) + \varphi(x_k)}$$

$$x_{k+1} = x_k + \frac{(\varphi(x_k) - x_k)^2}{2\varphi(x_k) - \varphi(\varphi(x_k)) - x_k}, \quad k \geq 0 \quad (4)$$

Aceleración de Aitken de φ

$$x_{k+1} = \varphi_A(x_k)$$

$$\varphi_A(x) = x + \frac{(\varphi(x) - x)^2}{2\varphi(x) - \varphi(\varphi(x)) - x}$$

$$= \frac{x(2\varphi(x) - \varphi(\varphi(x)) - x) + (\varphi(x) - x)^2}{2\varphi(x) - \varphi(\varphi(x)) - x}$$

$$= \frac{\varphi(x)^2 - 2\varphi(x)x + x^2 - x^2 - \varphi(\varphi(x))x + 2\varphi(x)x}{2\varphi(x) - \varphi(\varphi(x)) - x}$$

$$\varphi_a(x) = \frac{\varphi(x)^2 - \varphi(\varphi(x))x}{2\varphi(x) - \varphi(\varphi(x)) - x}$$

$$\lim_{x \rightarrow a} \varphi_a(x) = \frac{\varphi(a)^2 - \varphi(\varphi(a))a}{2\varphi(a) - \varphi(\varphi(a)) - a} = \frac{a^2 - a^2}{2a - a - a} = \frac{0}{0}$$

Aplicando L'Hospital

$$= \frac{2\varphi(x)\varphi'(x) - (\varphi(\varphi(x)) + x\varphi'(\varphi(x))\varphi'(x))}{2\varphi'(x) - 1 - \varphi'(\varphi(x))\varphi'(x)}$$

y, tomando el límite cuando $x \rightarrow +\infty$

$$= \frac{2\varphi(a)\varphi'(a) - a\varphi'(\varphi(a))\varphi'(a) - \varphi(\varphi(a))}{2\varphi'(a) - 1 - \varphi'(\varphi(a))\varphi'(a)}$$

$$= \frac{2a\varphi'(a) - a\varphi'(a)^2 - a}{2\varphi'(a) - 1 - \varphi'(a)^2}$$

$$= a \frac{(2\varphi'(a) - \varphi'(a)^2 - 1)}{(2\varphi'(a) - \varphi'(a)^2 - 1)} = a$$

Es decir, $\varphi_a(a) = a$.

Teorema: Considerando la iteración de punto fijo (4) con $\varphi(x) = x - f(x)$ que calcula un cero de la función f . Si f es suficientemente regular, entonces:

- ① Si φ converge linealmente a una raíz simple ($m=1$) de f , entonces φ_a converge cuadráticamente a la misma raíz.
- ② Si φ converge con orden $p \geq 2$ a una raíz simple de f , φ_a converge con orden $2p-1$.
- ③ Si φ converge linealmente a una raíz de f que tiene multiplicidad $m \geq 2$, entonces φ_a converge linealmente, pero su factor de convergencia asintótica es mejor $\alpha = 1 - 1/m$.

Nota: Si la raíz de f es simple, la aceleración de Aitken converge con $p=1$ incluso si φ no converge.

Sistemas de ecuaciones no lineales

Encontrar un $\alpha \in \mathbb{R}^n$ tal que $F(\alpha) = 0$, donde $F: \mathbb{R}^n \rightarrow \mathbb{R}^n$ es continuamente diferenciable.

Newton Vectorial

matriz
jacobiana

$$0 = F(\alpha) = F(x) + \overbrace{J_F(x)}^{\text{matriz jacobiana}} (\alpha - x) + o(\|\alpha - x\|^2)$$

$$0 = F(x) + J_F(x)\alpha - J_F(x)x + o(\|\alpha - x\|^2)$$

$$J_F(x)\alpha = J_F(x)x - F(x) - o(\|\alpha - x\|^2)$$

$$\alpha = x - J_F(x)^{-1}F(x) - o(\|\alpha - x\|^2)$$

Por lo tanto, podemos usar el siguiente esquema iterativo.

① ¡No es práctico!

$$x_{k+1} = x_k - J_F(x_k)^{-1}F(x_k)$$

← Método de Newton Vectorial.

Una alternativa más eficiente

$$x_{k+1} = x_k - \underbrace{J_F(x_k)^{-1}}_{\Delta_k} F(x_k)$$

$$\hookrightarrow \Delta_k = -J_F(x_k)^{-1} F(x_k)$$

$$\hookrightarrow J_F(x_k) \Delta_k = -F(x_k) \quad \leftarrow \text{Sistema lineal de ecuaciones}$$

$$\downarrow \text{solución} \rightarrow \Delta_k \rightarrow x_{k+1} = x_k + \Delta_k$$

Sección 5: Convergencia de Newton Vectorial

$$(1) \quad x_{k+1} = x_k - J_F(x_k)^{-1} F(x_k)$$

Lema 5.1: Si $J(x)$ existe para todo x en un convexo $D \subseteq \mathbb{R}^n$, y si existe una constante L tal que

$$\|J_F(x) - J_F(y)\| \leq L \|x - y\|, \quad \forall x, y \in D$$

entonces, para todo $x, y \in D$, se satisface la siguiente estimación

$$\|F(x) - F(y) - J_F(y)(x - y)\| \leq \frac{L}{2} \|x - y\|^2 \quad (2)$$

Demostración:

Definamos una función auxiliar $\varphi(t) = F(y + t(x - y))$, $t \in [0, 1]$, $\varphi: [0, 1] \rightarrow \mathbb{R}$.

- ① φ es diferenciable para todo $t \in]0, 1[$.
- ② Usando la regla de la cadena

$$\varphi'(t) = J_F(y + t(x - y))(x - y)$$

$$\rightarrow F(x) - F(y) - J_F(y)(x - y) =: \Delta \quad \rightarrow \text{De hecho} \quad \Delta = \int_0^1 (\varphi'(t) - \varphi'(0)) dt$$

$$\rightarrow \text{Por lo tanto, } \Delta = \varphi(1) - \varphi(0) - \varphi'(0)$$

Es de interés acotar $\|\varphi'(t) - \varphi'(0)\|$.

$$\|\varphi'(t) - \varphi'(0)\| = \|J_F(y + t(x - y))(x - y) - J_F(y)(x - y)\|$$

$$= \|(J_F(y + t(x - y)) - J_F(y))(x - y)\|$$

$$\leq \|J_F(y + t(x - y)) - J_F(y)\| \|x - y\|$$

Por la hipótesis, tenemos que

$$\begin{aligned} \|\varphi'(t) - \varphi'(0)\| &\leq L \|y + t(x - y) - y\| \|x - y\| \\ &\leq L t \|x - y\|^2 \\ &\leq L \|x - y\|^2. \end{aligned}$$

→ Finalmente,

$$\begin{aligned} \|\Delta\| &= \left\| \int_0^1 (\varphi'(t) - \varphi'(0)) dt \right\| \\ &\leq \int_0^1 \|\varphi'(t) - \varphi'(0)\| dt \\ &\leq \int_0^1 L t \|x - y\|^2 dt = L \|x - y\|^2 \int_0^1 t dt \leq \frac{L}{2} \|x - y\|^2 \end{aligned}$$

Lema 5.2. Sea A una matriz cuadrada, si $\rho(A) < 1$, entonces la matriz $(I - A)$ es invertible y se cumple la siguiente desigualdad

$$\frac{1}{1 + \|A\|} \leq \|(I - A)^{-1}\| \leq \frac{1}{1 - \|A\|}$$

Teorema 5.3. Sea $F: D \rightarrow \mathbb{R}^n$ una función C^1 convexa definida en $D \subseteq \mathbb{R}^n$ que contiene a α ($\alpha \in D$). Asumiendo que $J_F(\alpha)^{-1}$ existe y además existen constantes R, C , y L tal que $\|J_F(\alpha)\| \leq C$ y

$$\|J_F(x) - J_F(y)\| \leq L \|x - y\|, \quad \forall x, y \in B_R(\alpha)$$

Entonces, existe un $r > 0$ tal que para cualquier $x_0 \in B_r(\alpha)$, la sucesión definida de la ecuación (1) está bien definida y converge hacia α con

$$\|x_{k+1} - \alpha\| \leq \delta L \|x_k - \alpha\|^2$$

Demostración:

- Esta iteración está bien definida si $x_{k+1} \in B_r(\alpha)$ donde $r = \min(R, 1/2CL)$
- Empezando por $x_0 \in B_r(\alpha)$, es $J_F(x_0)$ invertible?

$$\|J_F(\alpha)^{-1} [J_F(x_0) - J_F(\alpha)]\| \leq \|J_F(\alpha)^{-1}\| \|J_F(x_0) - J_F(\alpha)\|$$

$$* \|J_F(x_0)^{-1}\| \leq ?$$

$$\leq CL \|x_0 - \alpha\|$$

$$\leq CLr$$

$$\leq 1/2$$

- Tomando $A = -J_F(\alpha)^{-1} (J_F(x_0) - J_F(\alpha))$, entonces

$$I - A = I + J_F(\alpha)^{-1} J_F(x_0) - \underbrace{J_F(\alpha)^{-1} J_F(\alpha)}_I$$

$$= J_F(\alpha)^{-1} J_F(x_0)$$

- Aplicando el lema (2)

$$\|(I - A)^{-1}\| \leq \frac{1}{1 - \|A\|}$$

$$\underbrace{\|(J_F(\alpha)^{-1} J_F(x_0))^{-1}\|}_A \leq \frac{1}{1 - \|J_F(\alpha)^{-1} (J_F(x_0) - J_F(\alpha))\|}$$

Analizando (A): $\|(J_F(\alpha)^{-1} J_F(x_0))^{-1}\| = \|J_F(x_0)^{-1} J_F(\alpha)\|$

$$\geq \frac{\|J_F(x_0)^{-1}\|}{\|J_F(\alpha)^{-1}\|}$$

Consideremos

$$\|ABB^{-1}\| \leq \|AB\| \|B^{-1}\| \Rightarrow \|AB\| \geq \frac{\|A\|}{\|B^{-1}\|}$$

Resumiendo

$$\frac{\|J_F(x_0)^{-1}\|}{\|J_F(\alpha)^{-1}\|} \leq \frac{1}{1 - \|J_F(\alpha)^{-1} (J_F(x_0) - J_F(\alpha))\|}$$

$$\|J_F(x_0)^{-1}\| \leq \frac{\|J_F(\alpha)^{-1}\|}{1 - \|J_F(\alpha)^{-1} (J_F(x_0) - J_F(\alpha))\|}$$

Usando el lema (1)

$$\begin{aligned} \|J_F(x_0)^{-1}\| &\leq \frac{\|J_F(\alpha)^{-1}\|}{1 - \frac{1}{2} \|x_0 - \alpha\|^2} \\ &\leq \frac{\|J_F(\alpha)^{-1}\|}{1 - \frac{1}{2} \left(\frac{1}{2CL}\right)^2} \\ &\leq \frac{C}{1 - \frac{1}{8C^2L^2}} = \frac{C}{\frac{8CL-1}{8C^2L}} = \frac{8C^3L}{8CL-1} = \gamma \end{aligned}$$

Por tanto, la iteración $x_1 = x_0 - J_F(x_0)^{-1} F(x_0)$ está bien definida

→ Agregando un cero inteligente

$$x_1 - \alpha = x_0 - \alpha - J_F(x_0)^{-1} F(x_0)$$

$$J_F(x_0)(x_1 - \alpha) = J_F(x_0)(x_0 - \alpha) - F(x_0) + F(\alpha)$$

$$\begin{aligned} \|x_1 - \alpha\| &= \|(J_F(x_0))^{-1} (F(\alpha) - F(x_0) - J_F(x_0)(\alpha - x_0))\| \\ &\leq \|J_F(x_0)^{-1}\| \|F(\alpha) - F(x_0) - J_F(x_0)(\alpha - x_0)\| \end{aligned}$$

Por el lema (1)

$$\|x_1 - \alpha\| \leq \gamma \frac{L}{2} \|x_0 - \alpha\|^2$$

Se cumple para $k=0$, y siguiendo las iteraciones $k=1, 2, \dots$, se obtiene la estimación
 ↳ asumir k se cumple y probar si $k+1$ cumple.

Sección 6: Modificaciones Newton Vectorial

→ Los dos pasos importantes del método de Newton

- ① Calcular la matriz Jacobiana $J_F(x_k)$
- ② Resolver el sistema lineal $J_F(x_k) \Delta_k = -F(x_k)$
- ③ Localidad del método.

→ ¿Cómo aliviar la carga computacional?

- * La idea es no actualizar $J_F(x_k)$ en cada iteración, sino mantenerla fija por $p \geq 2$ iteraciones.
- * Se deteriora la velocidad de convergencia pero se gana en eficiencia computacional.

② Resolución inexacta del sistema lineal

$$J_F(x_k) \Delta_k = -F(x_k) \quad (1)$$

→ Métodos iterativos de solución

Solo corremos un número reducido de iteraciones de un método iterativo

Newton - Jacobi
Newton - GS

Newton - SOR
Newton - Krelou

Newton - SOR

$$J_F(x_k) = D_k - E_k - F_k$$

donde $D_k = D(x_k)$, $-E_k = -F(x_k)$ y $-F_k = -F(x_k)$ y asumiendo que D_k es invertible, El método SOR para resolver el sistema lineal (1) sigue lo siguiente

$$\text{INT } \Delta x_k^{(0)} = 0$$

$$\text{ITERA } \Delta x_k^{(r)} = H_k \Delta x_k^{(r-1)} - w_k (D_k - w_k E_k)^{-1} F(x_k)$$

donde H_k es la matriz de iteración del método SOR

$$H_k = [D_k - w_k E_k]^{-1} [(1 - w_k) D_k + w_k F_k]$$

y w_k es el parámetro de relajación del método.

Asumiendo que solo iteramos (2) m veces y

$$\Delta_k^{(r)} = x_k^{(r)} - x_k$$

la actualización de Newton SOR se ve así

$$x_{k+1} = x_k - w_k (H_k^{m-1} + \dots + I) (D_k - w_k E_k)^{-1} F(x_k)$$

Métodos Quasi-Newton

$$\rightarrow x_{k+1} = x_k + \Delta_k$$

donde Δ_k es la solución de un sistema lineal

$$J_F(x_k) \Delta_k = -F(x_k)$$

$$\hookrightarrow B \Delta_k = -F(x_k)$$

donde B es una aproximación de $J_F(x_k)$

Plantilla.

$$\text{Sea } x_0 \in \mathbb{R}^n, B_0 \geq 0$$

$$\text{For } k=1, 2, \dots$$

$$\text{Resolvemos } B_{k-1} \Delta_{k-1} = -F(x_{k-1}) \quad ; \quad \Delta_{k-1} = -B_{k-1}^{-1} F(x_{k-1})$$

$$\text{Actualizamos } x_k = x_{k-1} + \Delta_{k-1}$$

$$\text{Calculamos } B_k \text{ a partir de } B_{k-1} \text{ y } B_k^{-1}$$

Endfor

→ Con respecto al paso 3 del algoritmo, un requerimiento razonable para actualizar B_k es el siguiente

$$F(x_k) = F(x_{k-1}) + B_k (x_k - x_{k-1}) \quad (3)$$

↳ Ecuación con la condición secante

En cierta literatura $y = F(x_k) - F(x_{k-1})$ y $s = x_k - x_{k-1}$

$$B_s = y$$

[Ecuación secante]

(4)

• Además de la ecuación secante, nos gustaría

* B_k es simétrica

* $B_k \succ$

→ Si tomamos $B = A + uv^T \Leftrightarrow B_{k+1} = B_k + uv^T$ (Actualizaciones de rango 1)

Viernes, 3 de diciembre de 2021

Motivación

$$F: \mathbb{R}^n \rightarrow \mathbb{R}^n$$

①

$$F(x_{k+1}) \approx F(x_k)$$

② $F(x) \approx F(x_k) + J_F(x_k)(x - x_k) \approx 0$

$$F(x) \approx F(x_k) + B_k(x - x_k) \approx 0$$

→ No podemos esperar que $F(x_{k+1})$ sea 0

Mejorar B_k para que B_{k+1} genere $F(x_{k+1})$ más pequeño.

→ Si sabemos de x_{k+1} y $F(x_{k+1})$ podemos aproximar el B_{k+1} de la siguiente manera

$$F(x_k) + B_{k+1}(x_{k+1} - x_k) = F(x_{k+1}) \quad (1)$$

→

$$F(x_k) + B_k(x_{k+1} - x_k) = 0$$

→ Como solo consideramos $x_{k+1} - x_k$ debemos cumplir también que

$$B_k y = B_{k+1} y \quad \text{siempre que } y^T(x_{k+1} - x_k) = 0 \quad (2)$$

¿Cómo actualizamos B_k ?

↳ Escalamiento de $F(x_{k+1})$ proporcional al producto $y^T(x_{k+1} - x_k)$

$$\hookrightarrow s_k = x_{k+1} - x_k$$

$$F(y) = \frac{y^T s_k}{s_k^T s_k} F(x_{k+1}) = F(x_{k+1}) \frac{s_k^T y}{s_k^T s_k}$$

Como $F(y)$ es una función lineal, se puede escribir de la siguiente forma

$$F(y) = U_k y$$

Por lo tanto

$$B_{k+1} - B_k = U_k = \frac{F(x_{k+1}) s_k^T}{s_k^T s_k}$$

Finalmente,

$$B_{k+1} = B_k + \frac{F(x_{k+1}) s_k^T}{s_k^T s_k}$$

Método de Broyden

* Definir un x_0
Empezamos con una aproximación B_0

$$\begin{aligned} \textcircled{1} & B_0 = S_F(x_0) \\ \textcircled{2} & B_0 = I \end{aligned}$$

$$\begin{aligned} B_k S_k &= -F(x_k) \\ x_{k+1} &= x_k - S_k \end{aligned}$$

* Resolvemos la ecuación $F(x_k) + B_k(x_{k+1} - x_k) = 0$ y obtenemos x_{k+1}

* Actualizamos $B_{k+1} = B_k + \frac{F(x_{k+1}) S_k^T}{S_k^T S_k}$

Fórmulas de Sherman-Horison

El método de Broyden se puede escribir de forma alternativa como

$$B_k(x_{k+1} - x_k) = -F(x_k)$$

$$B_k x_{k+1} - B_k x_k = -F(x_k)$$

$$\hookrightarrow x_{k+1} = x_k - B_k^{-1} F(x_k)$$

Para poder utilizar esta iteración, necesitamos una forma de actualizar B_{k+1} a partir de B_k .

Lema. Sea A , $n \times n$ invertible y sean $u, v \in \mathbb{R}^n$, entonces $(A + uv^T)^{-1}$ se puede calcular como

$$(A + uv^T)^{-1} = \underbrace{A^{-1}}_{B_k^{-1}} - \frac{A^{-1} u v^T A^{-1}}{1 + v^T A^{-1} u} \quad (5)$$

Si tomamos en (5) $A = B_k$, $u = F(x_{k+1})$, $v = \frac{S_k}{S_k^T S_k}$, entonces podemos actualizar B_{k+1} como

$$\begin{aligned} B_{k+1}^{-1} &= B_k^{-1} - \frac{(B_k^{-1} F(x_{k+1})) S_k^T B_k^{-1}}{(S_k^T S_k) \left(1 + \frac{S_k^T B_k^{-1} F(x_{k+1})}{S_k^T S_k}\right)} \\ &= B_k^{-1} - \frac{C_k S_k^T B_k^{-1}}{S_k^T S_k + S_k^T C_k} = B_k^{-1} - \frac{C_k S_k^T B_k^{-1}}{S_k^T (S_k + C_k)} \end{aligned}$$

Viernes, 10 de diciembre.

Capítulo 2: Interpolación Numérica (Aproximación de Funciones)

Idea 1: Reemplazar una función f dada por otra función \bar{f} más «simple»

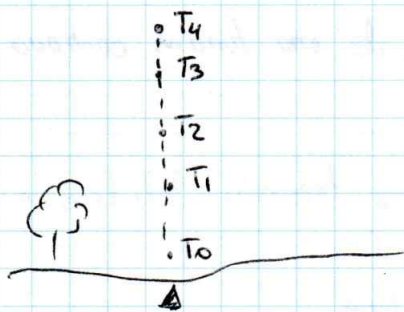
$$\int_a^b f(x) dx \approx \int_a^b \bar{f}(x) dx$$

Idea 2: No tenemos acceso a f ?

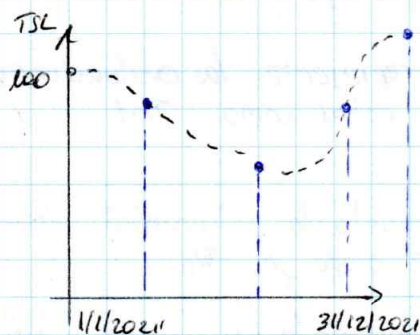
- ↳ Tenemos acceso a evaluaciones de f en algunos puntos
- ↳ A partir de los puntos conocidos de f , podemos construir \bar{f} .

Ejemplos.

① Climatología



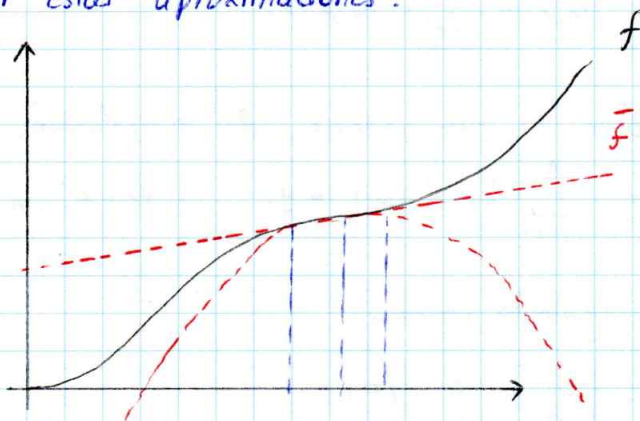
② Finanzas



③ Robótica



Idea: cómo construir estas aproximaciones?



$$f(x) = f(x) + f'(x)(x-x) + \frac{1}{2} f''(x)(x-x)^2 + O(x^3)$$

→ Como esta función solo aproxima localmente, es necesario usar otras técnicas

Problema: Dados $n+1$ pares $\{x_i, y_i\}$ con $i=0, 1, \dots, n$. Donde cada x_i se lo conoce como nodo. Encontrar una función f tal que satisfaga la siguiente ecuación

$$\bar{f}(x_i) = y_i \quad \forall i=0, \dots, n \quad (1)$$

A \bar{f} se la conoce como interpolante del conjunto de datos $\{y_i | i=0, \dots, n\}$ y a (1) se la conoce como la condición de interpolación.

Tipos de interpolantes.

① Interpolantes polinomiales

$$\bar{f}(x) = a_0 + a_1 x + a_2 x^2 + \dots + a_n x^n$$

② Interpolantes trigonométricos

$$\bar{f}(x) = a_{-n} e^{-inx} + a_{-n+1} e^{-i(n-1)x} + \dots + a_0 + \dots + a_n e^{inx}$$

donde n es un entero igual a $n/2$ cuando n es par y $(n-1)/2$ si n es impar

③ Interpolantes racionales

$$\bar{f}(x) = \frac{a_0 + a_1 x + \dots + a_k x^k}{a_{k+1} + a_{k+2} x + \dots + a_{k+n+1} x^n}$$

2.1 Interpolación polinomial de Lagrange

Proposición 2.1. Para cualquier conjunto de pares $\{x_i, y_i\}$ $i=0, \dots, n$ con valores distintos de x_i , existe un único interpolante lineal de grado menor o igual a n .

notado por T_n y conocido como interpolante polinomial de y_i en los nodos x_i tal que

$$T_n(x_i) = y_i, \quad i=0, \dots, n \quad (2)$$

→ En el caso que $\{y_i : i=0, \dots, n\}$ representa las evaluaciones de una función continua f en los nodos x_i , T_n se lo puede notar como $T_n f$

Demostración

→ Como se sabe que T_n es un interpolante polinomial, entonces tenemos $\{l_i\}_{i=0, \dots, n}$ una base del espacio de polinomios de grado n , \mathbb{P}_n

→ Por lo tanto, T_n admite una representación usando esta base

$$T_n(x) = \sum_{i=0}^n b_i l_i(x)$$

→ Además, T_n debe satisfacer las ecuaciones de interpolación

$$T_n(x_i) = \sum_{j=0}^n b_j l_j(x_i) = y_i \quad \forall i=0, \dots, n$$

Si tomamos a $l_j \in \mathbb{P}_n$ de la siguiente manera

$$l_{ij} = l_j(x_i) = \begin{cases} 1 & \text{si } i=j \\ 0 & \text{si } i \neq j \end{cases}$$

entonces $b_i = y_i$, $\forall i=0, \dots, n$

→ Un tipo de polinomios que se comportan de esta manera son los polinomios de LAGRANGE.

$$l_i(x) = \frac{(x-x_0)(x-x_1) \dots (x-x_{i-1})(x-x_{i+1}) \dots (x-x_n)}{(x_i-x_0)(x_i-x_1) \dots (x_i-x_{i-1})(x_i-x_{i+1}) \dots (x_i-x_n)}$$

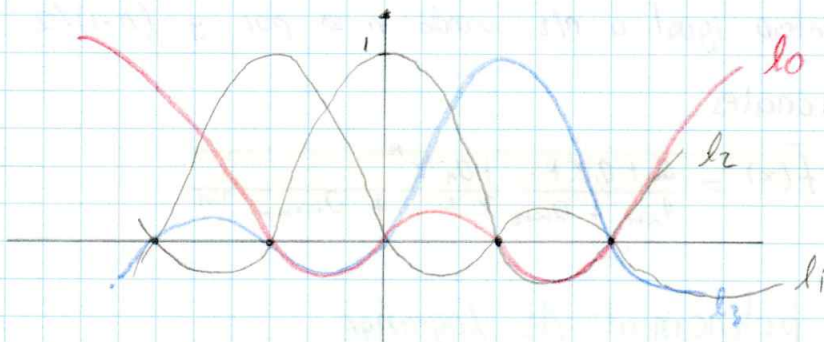
→ De forma equivalente

$$l_i(x) = \prod_{\substack{j=0 \\ j \neq i}}^n \frac{x-x_j}{x_i-x_j} \quad i=0, \dots, n$$

Deber: Demostrar que los polinomios de Lagrange forman una base para \mathbb{P}_n

En consecuencia

$$T_n(x) = \sum_{i=0}^n y_i l_i(x)$$



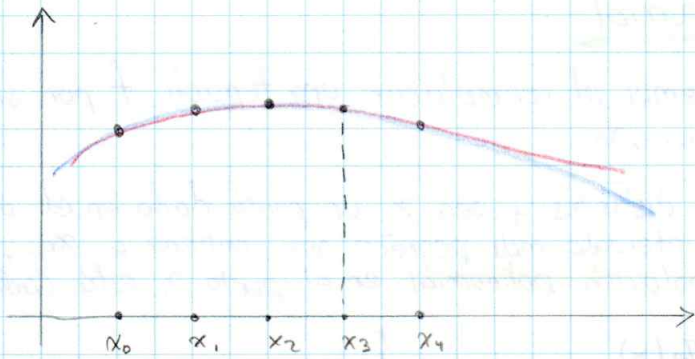
UNICIDAD

→ Asumamos que existe otro polinomio Q_m con $m \leq n$ tal que

$$Q_m(x_i) = y_i$$

$$i = 0, \dots, m$$

→ Entonces, si restamos $\Pi_n - Q_m$



→ $R = \Pi_n - Q_m$ ← corresponde al polinomio nulo
 Por lo tanto $\Pi_n - Q_m$ en todas las nodos \Rightarrow así Π_n es único

Lunes 13 de diciembre de 2021 (Prueba 1)

Martes 14 de diciembre de 2021

El interpolante polinomial en la forma de Lagrange se puede escribir como

$$\Pi_n(x) = \sum_{i=0}^n y_i l_i(x) \quad (3)$$

→ Una forma alternativa de escribir este polinomio es

$$\Pi_n(x) = \sum_{i=0}^n \frac{w_{n+1}(x)}{(x-x_i)w'_{n+1}(x_i)} y_i$$

donde w_{n+1} es el polinomio nodal de grado $n+1$ y se define como

$$w_{n+1}(x) = \prod_{i=0}^n (x-x_i)$$

Deber $w_{n+1}(x)$? $w'_{n+1}(x)$? $(x-x_0)$

Ejercicio:

x_i	y_i
1	-1
2	2
3	0

 Encontrar el interpolante polinomial

$$\Pi_n(x) = \sum_{i=0}^n y_i l_i(x)$$

$$l_i(x) = \prod_{j=0, j \neq i}^n \frac{(x-x_j)}{(x_i-x_j)}$$

$$\bullet l_0 = \prod_{\substack{j=0 \\ j \neq 0}}^2 \frac{(x-2)(x-3)}{(1-2)(1-3)} = \frac{x^2-5x+6}{1-3-2+6} = \frac{x^2-5x+6}{2}$$

$$\bullet l_2 = \prod_{\substack{j=0 \\ j \neq 2}}^2 \frac{(x-1)(x-3)}{(2-1)(2-3)} = \frac{x^2-3x-x+3}{-1} = -x^2+4x-3$$

$$\bullet l_3 = \prod_{\substack{j=0 \\ j \neq 3}}^2 \frac{(x-1)(x-2)}{(3-1)(3-2)} = \frac{x^2-2x-x+2}{2} = \frac{x^2-3x+2}{2}$$

$$\Pi_n(x) = y_0 l_0 + y_1 l_1 + y_2 l_2 = -\frac{1}{2}(x^2-5x+6) - 2(x^2-4x+3) = x^2\left(-\frac{1}{2}-2\right) + x\left(\frac{5}{2}-8\right) - 3-6$$

$$T_n(x) = \frac{5}{2}x^2 - \frac{21}{2}x - 9$$

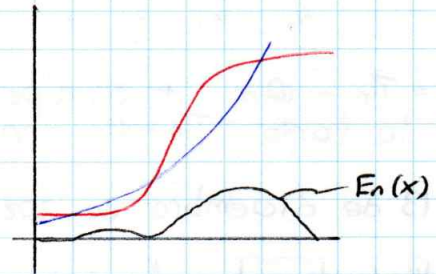
2.2 Error en la aproximación polinomial

Nos interesa estimar el error que cometemos al reemplazar una función f por su interpolante polinomial T_n en los nodos x_0, x_1, \dots, x_n

Teorema. Sean $x_0, x_1, \dots, x_n, x_{n+1}$ nodos distintos y sea x un punto dado en el dominio de $f \in C^{n+1}(I_x)$, donde I_x es el intervalo más pequeño que contiene a x_0, \dots, x_n y a x . Entonces, el error de interpolación polinomial en el punto x está dado por

$$E_n(x) = f(x) - T_n(x)$$

$$(1) \quad E_n(x) = \frac{f^{(n+1)}(\xi)}{(n+1)!} w_{n+1}$$



donde $\xi \in I_x$ y w_{n+1} es el polinomio nodal de grado $n+1$.

Demostración.

- El resultado se verifica trivialmente si x coincide con los nodos x_i
- Los casos interesantes ocurren cuando $t \in I_x$
- Introducimos la siguiente función

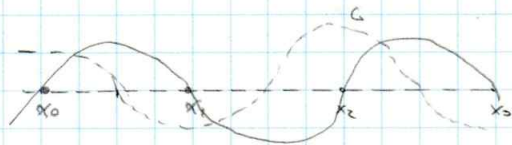
$$G(t) = E_n(t) - w_{n+1}(t) \frac{E_n(x)}{w_{n+1}(x)}$$

« El error en las nodas es cero pero distinto de cero en el restante »

→ Como f es $n+1$ veces diferenciable y w_{n+1} es un polinomio, entonces $G \in C^{n+1}(I_x)$ y

$$G(x_i) = E_n(x_i) - w_{n+1}(x_i) \frac{E_n(x)}{w_{n+1}(x)} = 0$$

$$G(x) = E_n(x) - w_{n+1}(x) \frac{E_n(x)}{w_{n+1}(x)} = 0$$



→ Por lo tanto, esta función G tiene $n+2$ ceros?

→ Por lo tanto, podemos aplicar el teorema de Rolle. Sea f continua en $[a, b]$ y diferenciable en $]a, b[$ tal que $f'(c) = 0$. Así, sabemos que $G'(t)$ tiene $n+1$ ceros

Recursivamente $G^{(n+1)}$ tiene un cero en $\xi \in I_x$

$$G^{(n+1)}(t) = E_n^{(n+1)}(t) - w_{n+1}^{(n+1)}(t) \frac{E_n(x)}{w_{n+1}(x)}$$

$$E_n^{(n+1)}(t) = f^{(n+1)}(t) - T_n^{(n+1)}(t) = f^{(n+1)}(t)$$

Deber $w_{n+1}^{(n+1)}(t) = (n+1)!$

$$G^{(n+1)}(t) = f^{(n+1)}(t) - (n+1)! \frac{E_n(x)}{w_{n+1}(x)}$$

Evaluando en ξ

$$G^{(n+1)}(\xi) = f^{(n+1)}(\xi) - (n+1)! \frac{E_n(x)}{W_n(x)} = 0$$

$$\Rightarrow E_n(x) = \frac{f^{(n+1)}(\xi)}{(n+1)!} W_n(x)$$

Viernes, 17 de diciembre de 2021

Forma de Newton

$$(LAGRANGE) \quad l_j(x) = \frac{(x-x_0)(x-x_1)\cdots(x-x_{j-1})(x-x_{j+1})}{(x_j-x_0)(x_j-x_1)\cdots(x_j-x_{j-1})(x_j-x_{j+1})}$$

La forma de Newton para un interpolante polinomial de orden $n-1$, dados n nodos x_i y valores y_i es:

$$\pi_n(x) = a_0 + a_1(x-x_0) + a_2(x-x_0)(x-x_1) + \cdots + a_n(x-x_0)(x-x_1)\cdots(x-x_{n-1})$$

La podemos reescribir como

$$\pi_n(x) = \sum_{i=0}^n a_i n_i(x)$$

$$\text{donde } n_i(x) = \prod_{j=0, j \neq i}^{i-1} (x-x_j)$$

→ La ventaja de la forma de Newton sobre la de Lagrange es que a_i se pueden calcular fácilmente

→ Por ejemplo; $\pi_n(x_i) = y_i$

↳ Para el primer punto (x_0)

$$\pi_n(x_0) = y_0 = a_0$$

↳ Para el punto (x_1)

$$\pi_n(x_1) = a_0 + a_1(x_1 - x_0) = y_0 + a_1(x_1 - x_0) = y_1$$

$$\Rightarrow a_1 = \frac{y_1 - y_0}{x_1 - x_0}$$

↳ Si ahora tomamos (x_2)

$$\pi_n(x_2) = a_0 + a_1(x_2 - x_0) + a_2(x_2 - x_0)(x_2 - x_1)$$

$$\begin{aligned} \Rightarrow a_2 &= \frac{y_2 - a_0 - a_1(x_2 - x_0)}{(x_2 - x_0)(x_2 - x_1)} \\ &= \frac{y_2 - y_0 - \left(\frac{y_1 - y_0}{x_1 - x_0}\right)(x_2 - x_0)}{(x_2 - x_0)(x_2 - x_1)} \\ &= \frac{\frac{y_2 - y_0}{x_2 - x_0} - \frac{y_1 - y_0}{x_1 - x_0}}{x_2 - x_1} \end{aligned}$$

↳ Tomando el nodo x_3

$$y_3 = \Pi_n(x_3) = a_0 + a_1(x_3 - x_0) + a_2(x_3 - x_0)(x_3 - x_1) + a_3(x_3 - x_0)(x_3 - x_1)(x_3 - x_2)$$

$$a_3 = \frac{y_3 - a_0 - a_1(x_3 - x_0) - a_2(x_3 - x_0)(x_3 - x_1)}{(x_3 - x_0)(x_3 - x_1)(x_3 - x_2)}$$

$$= \frac{y_3 - y_0 - \frac{y_1 - y_0}{x_1 - x_0}(x_3 - x_0) - \left[\frac{(y_2 - y_0)}{x_2 - x_0} - \frac{(y_1 - y_0)}{x_1 - x_0} \right] (x_3 - x_0)(x_3 - x_1)}{(x_3 - x_0)(x_3 - x_1)(x_3 - x_2)}$$

$$= \frac{\frac{y_3 - y_0}{x_3 - x_0} - \frac{y_1 - y_0}{x_1 - x_0} - \frac{y_2 - y_0}{x_2 - x_0} + \frac{y_1 - y_0}{x_1 - x_0}}{(x_2 - x_1)(x_3 - x_1)(x_3 - x_2)}$$

∴ Pendiente

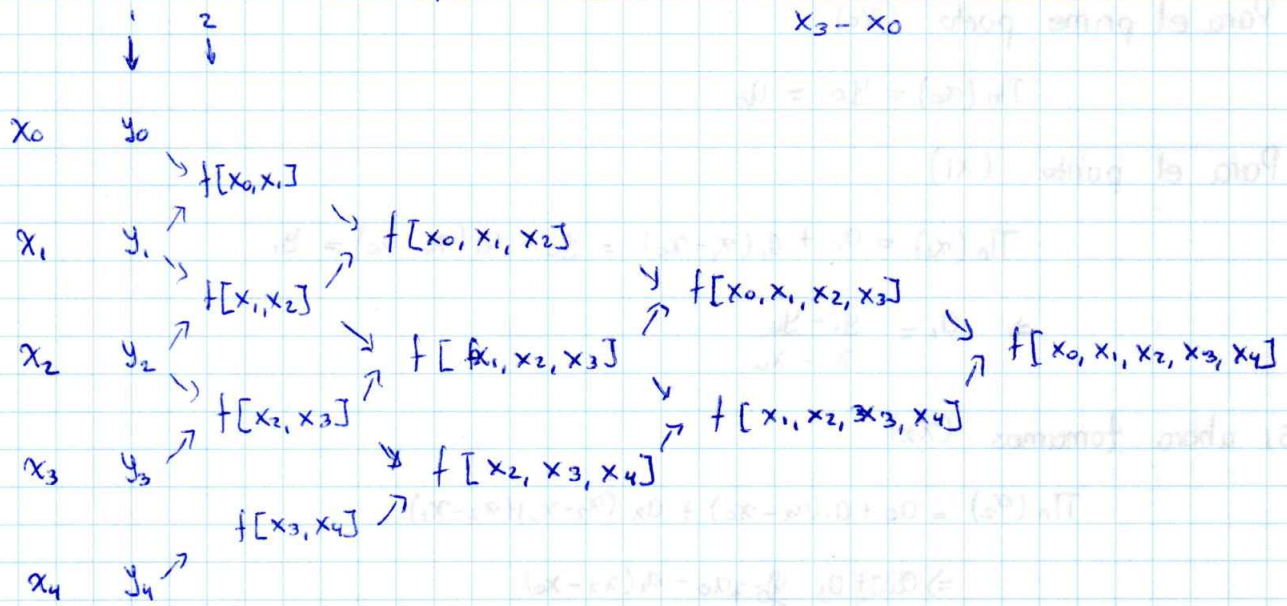
$$a_3 = \frac{\frac{y_3 - y_2}{x_3 - x_2} - \frac{y_2 - y_1}{x_2 - x_1} - \frac{y_2 - y_1}{x_2 - x_1} + \frac{y_1 - y_0}{x_1 - x_0}}{x_3 - x_0}$$

Diferencias divididas de Newton $f[x_0] = y_0$

$$f[x_1, x_0] = \frac{y_1 - y_0}{x_1 - x_0}$$

$$f[x_2, x_2, x_0] = a_2 = \frac{f[x_2, x_1] - f[x_1, x_0]}{x_2 - x_0}$$

$$f[x_3, x_2, x_1, x_0] = a_3 = \frac{f[x_3, x_2, x_1] - f[x_2, x_1, x_0]}{x_3 - x_0}$$



Estos valores se pueden precalcular dados los nodos x_i y sus valores y_i en una matriz

y_0	$f[x_1, x_0]$	$f[x_2, x_1, x_0]$	$f[x_3, x_2, x_1, x_0]$	$f[x_4, x_3, x_2, x_1, x_0]$
y_1	$f[x_2, x_1]$	$f[x_3, x_2, x_1]$	$f[x_4, x_3, x_2, x_1]$	0
y_2	$f[x_3, x_2]$	$f[x_4, x_3, x_2]$	0	0
y_3	$f[x_4, x_3]$	0	0	0
y_4	0	0	0	0

→ Armamos el polinomio

$$\Pi_n(x) = y_0 + f[x_1, x_0](x-x_0) + f[x_2, x_1, x_0](x-x_0)(x-x_1) + f[x_3, x_2, x_1, x_0](x-x_0)(x-x_1)(x-x_2) + f[x_4, x_3, x_2, x_1, x_0](x-x_0)(x-x_1)(x-x_2)(x-x_3)$$

Ejercicio

x	y
1	-1
2	2
3	0

$$\begin{bmatrix} -1 & 3 & -5/2 \\ 2 & -2 \\ 0 \end{bmatrix}$$

$$f[x_1, x_0] = \frac{y_1 - y_0}{x_1 - x_0} = 3 \quad f[x_2, x_1, x_0] = \frac{f[x_2, x_1] - f[x_1, x_0]}{x_2 - x_0} = \frac{-5}{2}$$

$$f[x_2, x_1] = \frac{y_2 - y_1}{x_2 - x_1} = -2$$

$$\Pi_n(x) = -1 + 3(x-1) - 5/2(x-1)(x-2)$$

$$= -1 + 3x - 3 - 5/2 x^2 + 15/2 x - 5$$

$$= -\frac{5}{2}x^2 + \frac{21}{2}x - 9$$

Lunes, 20 de diciembre de 2021

(Cómo se obtiene a_2)

$$\Pi_n(x) = a_0 + a_1(x-x_0) + a_2(x-x_0)(x-x_1) + \dots + a_n(x-x_0)\dots(x-x_{n-1})$$

$$\Pi_n(x_0) = a_0 = y_0$$

$$\Pi_n(x_1) = a_0 + a_1(x_1 - x_0) = y_0 + a_1(x_1 - x_0)$$

$$\Leftrightarrow a_1 = \frac{y_1 - y_0}{x_1 - x_0}$$

$$\Pi_n(x) = y_2 = a_0 + a_1(x_2 - x_0) + a_2(x_2 - x_0)(x_2 - x_1)$$

$$= y_0 + a_1(x_2 - x_0) + a_2(x_2 - x_0)(x_2 - x_1)$$

$$y_2 - y_0 + y_1 - y_0 = a_1(x_2 - x_0) + a_2(x_2 - x_0)(x_2 - x_1)$$

$$= \frac{y_1 - y_0}{x_1 - x_0}(x_2 - x_0) + a_2(x_2 - x_0)(x_2 - x_1)$$

$$a_2 = \frac{y_2 - y_1}{(x_2 - x_0)(x_2 - x_1)} + \frac{y_1 - y_0}{(x_2 - x_0)(x_2 - x_1)} - \frac{(y_1 - y_0)(x_2 - x_0)}{(x_1 - x_0)(x_2 - x_0)(x_2 - x_1)}$$

$$= \frac{y_2 - y_1}{(x_2 - x_0)(x_2 - x_1)} + \frac{y_1 - y_0}{(x_2 - x_0)(x_2 - x_1)} - \frac{y_1 - y_0}{(x_1 - x_0)(x_2 - x_1)}$$

$$= \frac{y_2 - y_1}{(x_2 - x_0)(x_2 - x_1)} + (y_1 - y_0) \left(\frac{x_1 - x_0 + x_0 - x_2}{(x_2 - x_0)(x_2 - x_1)(x_1 - x_0)} \right)$$

$$= \frac{y_2 - y_1}{(x_2 - x_0)(x_2 - x_1)} - \frac{y_1 - y_0}{(x_2 - x_0)(x_1 - x_0)}$$

$$= \frac{y_2 - y_1}{x_2 - x_1} = \frac{y_1 - y_0}{x_1 - x_0}$$

Sección: Nodos igualmente espaciados

Si tomamos nodos igualmente espaciados

$$x_i = x_{i-1} + h, \quad i = 1, \dots, n$$

con $h > 0$ y x_0 dado

→ Para esta selección de nodos, tenemos que el error de interpolación se puede escribir como

$$E_n(x) = f(x) - \Pi_n f(x) = \frac{f^{(n+1)}(\xi)}{(n+1)!} \prod_{i=0}^n (x - x_i)$$

Deber $\left| \prod_{i=0}^n (x - x_i) \right| \leq \frac{n! h^{n+1}}{4}$

Por lo tanto

$$|E_n f(x)| \leq \frac{f^{(n+1)}(\xi) n! h^{n+1}}{(n+1)! 4} = \frac{f^{(n+1)}(\xi) h^{n+1}}{4(n+1)}$$

$$\max |E_n f(x)| \leq \underbrace{\max |f^{(n+1)}(x)|}_{\xrightarrow{n \rightarrow \infty} 0} \frac{h^{n+1}}{4(n+1)} \xrightarrow{n \rightarrow \infty} 0$$

Pueden existir casos para los cuales

$$\lim_{n \rightarrow \infty} \max_{x \in I} |E_n f(x)| = +\infty$$

→ Contraejemplo de Runge

$$f(x) = \frac{1}{1+x^2}$$

Interpolación lineal a trozos

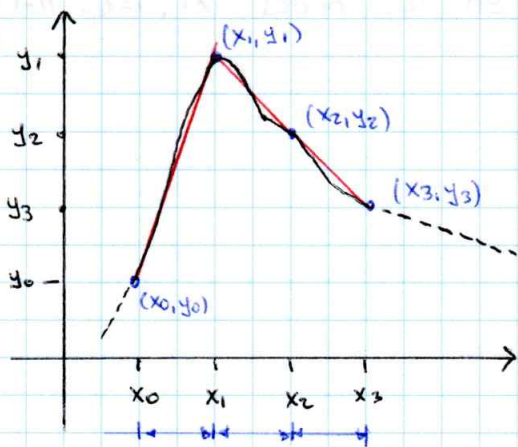
→ Alternativa para trabajar con distribuciones de nodos dados

→ Dada una distribución, no necesariamente uniforme de nodos

$$x_0 < x_1 < \dots < x_n$$

y notando I_i como el intervalo $[x_i, x_{i+1}]$, la idea es aproximar f por una función continua que restringida a cada intervalo I_i es una función lineal

$$\Pi_i^n \quad (\text{Aproximación polinomial a trozos de } f)$$



Para un par de nodos $(x_i, y_i), (x_{i+1}, y_{i+1})$

$$\pi_1^H f(x) = f(x_i) + \frac{f(x_{i+1}) - f(x_i)}{x_{i+1} - x_i} (x - x_i) \quad \forall x \in I_i$$

donde H representa el valor máximo de I_i .

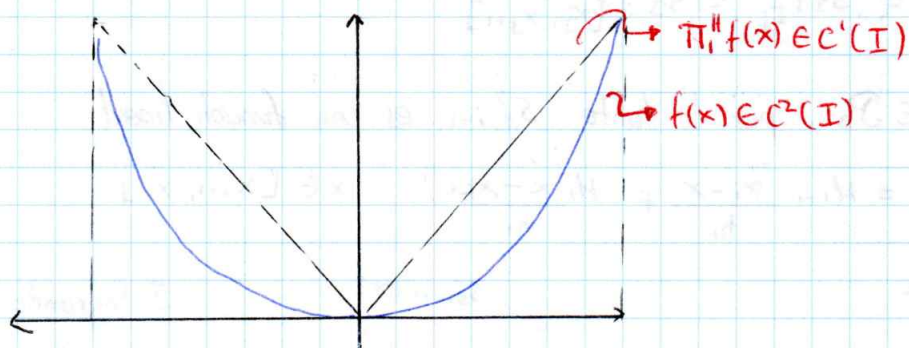
→ **Error de interpolación:** Utilizando el resultado de la interpolación polinomial $E_n(x)$ fijando $n=1$ y $h=H$.

Proposición: Si $f \in C^2(I)$ donde $I = [x_0, x_n]$, entonces

$$\max_{x \in I} |f(x) - \pi_1^H f(x)| \leq \frac{H^2}{8} \max_{x \in I} |f''(x)|$$

Para todo x en el intervalo de interpolación

$\pi_1^H f(x) \rightarrow f(x)$ cuando $H \rightarrow 0$, dado que f sea suficientemente suave.

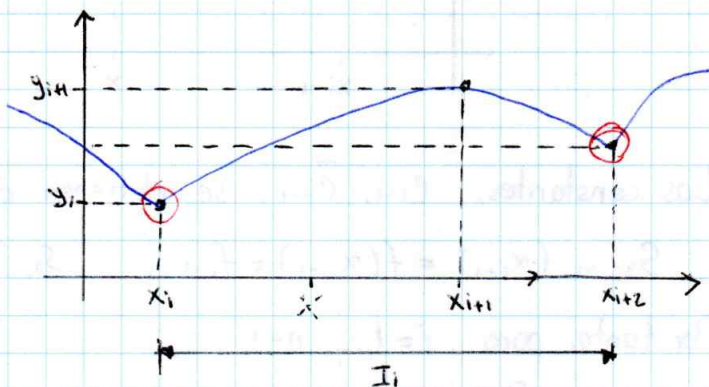


Aproximación por Splines

- Podemos utilizar otros interpolantes a trozos
- Polinomio de grado $n \geq 2$.

$$\pi_2^H f(x)$$

- Ciertas aplicaciones requieren que los interpolantes sean diferenciables.



Construcción

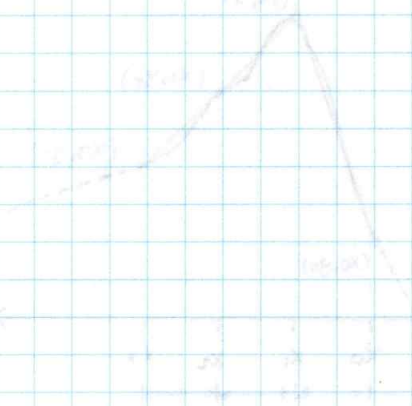
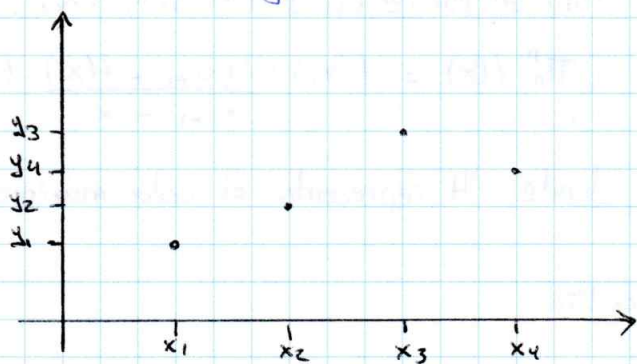
$\pi_3^H f(x)$ queremos que sea 2 veces diferenciable a este tipo de interpolante se le conoce como

S_3 : spline de grado 3.

Garantizar que este spline tenga las siguientes propiedades

- ⓐ En cada intervalo $I_i = [x_i, x_{i+1}]$, para cada $i=0, \dots, n-1$ S_3 sea un polinomio de grado 3 que interpola los nodos (x_j, y_j) para $j=i, i+1$

② S_3 tiene primera y segunda derivada continuas en los nodos $x_i, i=1, \dots, n-1$



- $n+1$ condiciones de interpolación $S_3(x_i) = y_i$
- $n-1$ condiciones de continuidad de S_3
- $2(n-1)$ condiciones de continuidad de S_3' y S_3''

→ Spline natural $S_3''(x_0) = 0$ $S_3''(x_n) = 0$

→ Spline periódico $S_3''(x_0) = S_3''(x_n)$

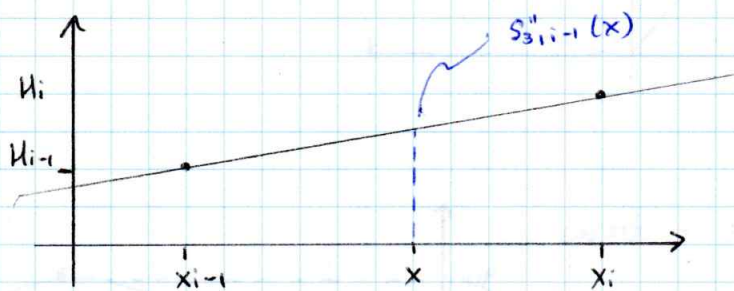
Notación:

$$f_i = S_3(x_i), \quad m_i = S_3'(x_i), \quad v_i = S_3''(x_i), \quad i=0, \dots, n$$

$$S_{3|I_j} = S_3|_{I_j} = S_3|_{[x_j, x_{j+1}]}$$

Como $S_{3,i-1} \in \mathcal{P}_3$, por lo tanto $S_{3,i-1}''$ es una función lineal

$$S_{3,i-1}''(x) = v_{i-1} \frac{x_i - x}{h_i} + v_i \frac{x - x_{i-1}}{h_i}, \quad x \in [x_{i-1}, x_i]$$



Integrando $S_{3,i-1}''(x)$,

$$S_{3,i-1}(x) = v_{i-1} \frac{(x_i - x)^3}{6h_i} + v_i \frac{(x - x_{i-1})^3}{6h_i} + c_{i-1}(x - x_{i-1}) + \tilde{c}_{i-1}$$

Las constantes, c_{i-1}, \tilde{c}_{i-1} , se obtienen de las condiciones de continuidad de S_3 y S_3'

$$S_{3,i-1}(x_{i-1}) = f(x_{i-1}) = f_{i-1}, \quad S_{3,i}(x_i) = f(x_i) = f_i$$

Por tanto, para $i=1, \dots, n-1$

$$\tilde{c}_{i-1} = f_{i-1} - v_{i-1} \frac{h_i^2}{6}$$

$$c_{i-1} = \frac{f_i - f_{i-1}}{h_i} - \frac{h_i}{6} (v_i - v_{i-1})$$

→ Usando la continuidad de la primera derivada

$$S_3'(x_i) = \frac{h_i}{6} v_{i-1} + \frac{h_i}{3} v_i + \frac{f_i - f_{i-1}}{h_i}$$

Por lo tanto,

$$(f+f)(\bar{x}) - f'(\bar{x}) = \frac{h}{2} f''(\xi) \rightarrow \text{Aproximación de primer orden}$$

→ Otra forma de aproximar la derivada

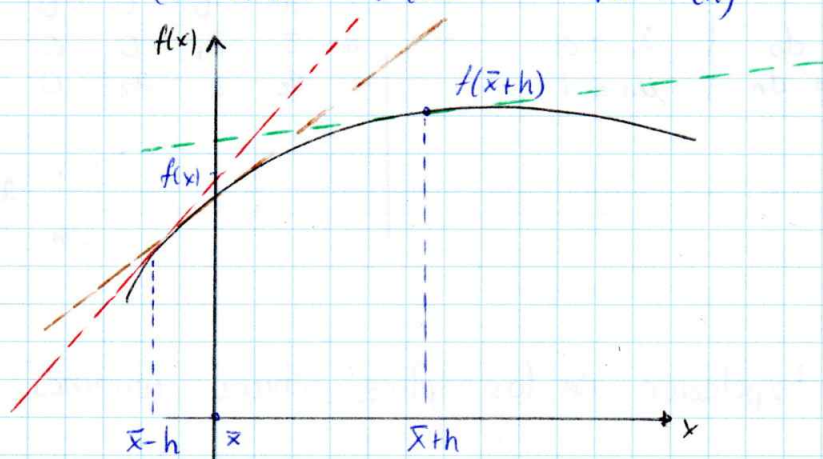
$$(f-f)(\bar{x}) = \frac{f(\bar{x}) + f(\bar{x}-h)}{h} \quad (4)$$

Diferencias finitas hacia atrás

$$f(\bar{x}-h) = f(\bar{x}) - hf'(x) + \frac{h^2}{2}$$

$$\Leftrightarrow f(\bar{x}) - f(\bar{x}+h)$$

$$\Leftrightarrow (f-f)(\bar{x}) - f'(\bar{x}) = -\frac{h}{2} f''(\eta)$$



Pregunta:
¿Podemos hacerlo mejor?
↳ Diferencias finitas centradas

$$(f+f)(\bar{x}) = \frac{f(\bar{x}+h) - f(\bar{x}-h)}{2h} \quad (5)$$

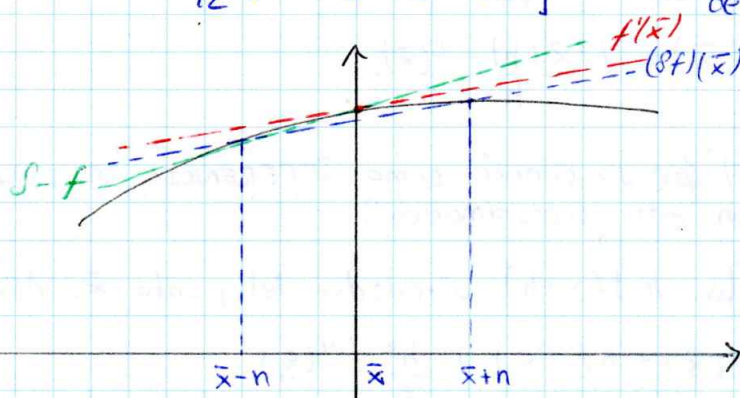
$$f(\bar{x}+h) = f(\bar{x}) + hf'(\bar{x}) + \frac{h^2}{2} f''(\xi) + \frac{h^3}{6} f^{(3)}(\xi)$$

$$-f(\bar{x}-h) = -f(\bar{x}) + hf'(\bar{x}) - \frac{h^2}{2} f''(\eta) + \frac{h^3}{6} f^{(3)}(\eta)$$

Así

$$f(\bar{x}+h) - f(\bar{x}-h) = 2hf'(\bar{x}) + \frac{h^3}{6} [f^{(3)}(\xi) + f^{(3)}(\eta)]$$

$$(f+f)(\bar{x}) - f'(\bar{x}) = \frac{h^2}{12} [f^{(3)}(\xi) + f^{(3)}(\eta)] \rightarrow \text{se dice que son aproximaciones de segundo orden.}$$



¿Qué pasa cuando $\bar{x} = a$, $\bar{x} = b$?

② DIFERENCIAS FINITAS HACIA ADELANTE → falla $\bar{x} = b$

DIFERENCIAS FINITAS HACIA ATRÁS \rightarrow falla $\bar{x}=a$
 DIFERENCIAS CENTRADAS \rightarrow fallan $\bar{x}=a$ y $\bar{x}=b$

Existen aproximaciones para los casos extremos $\{x_0, \dots, x_n\}$

$$f'(x_0) \approx \frac{1}{2h} [-3f(x_0) + 4f(x_1) - f(x_2)]$$

$$f'(x_n) \approx \frac{1}{2h} [3f(x_n) - 4f(x_{n-1}) + f(x_{n-2})]$$

son aproximaciones de segundo orden

Integración Numérica.

En esta sección revisaremos métodos numéricos para aproximar la siguiente integral

$$I(f) = \int_a^b f(x) dx \quad (1)$$

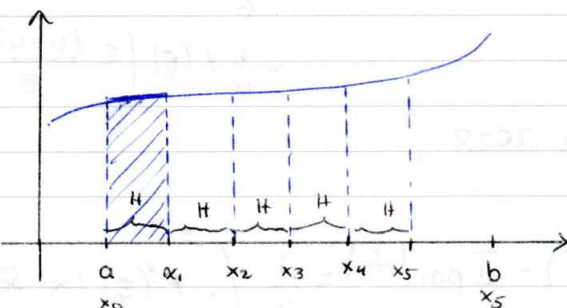
donde f es una función continua arbitraria en $[a, b]$

Reglas de cuadratura.

1) Regla del punto medio: Una forma simple de aproximar esta integral $I(f)$ se puede obtener al particionar $[a, b]$ en subintervalos $I_k = [x_{k-1}, x_k]$ con $k=1, \dots, M$ con $x_k = a + kH$, $k=0, \dots, M$ y $H = (b-a)/M$

Usando esta descomposición

$$I(f) = \sum_{k=1}^M \int_{I_k} f(x) dx \quad (2)$$



Estrategia: Reemplazar f por un interpolante polinomial \bar{f} que aproxima a f en I_k .

\rightarrow El interpolante más simple que podemos usar es \bar{f} como un polinomio constante. Este interpolante usa el punto medio del intervalo I_k

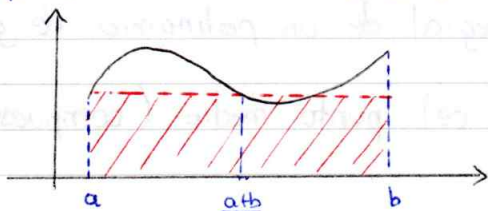
$$\bar{x}_k = \frac{x_{k-1} + x_k}{2}$$

entonces podemos reescribir (2) como

$$\begin{aligned} (3) \quad I(f) &\approx I_{pm}^c(f) = \sum_{k=1}^M \int_{I_k} f(\bar{x}_k) dx \\ &= \sum_{k=1}^M f(\bar{x}_k) \int_{I_k} dx \\ &= \sum_{k=1}^M f(\bar{x}_k) (x_k - x_{k-1}) = \sum_{k=1}^M f(\bar{x}_k) H = H \sum_{k=1}^M f(\bar{x}_k) \end{aligned}$$

Cuando tenemos un solo intervalo, $H = (b-a)$, se denomina regla simple del punto medio.

$$I_{pm}(f) = (b-a) f\left(\frac{a+b}{2}\right) \quad (4)$$



¿Cuánto error cometemos al aproximar la integral con esta regla?

$$\text{Error} \quad I(f) - I_{pm}(f) = \int_a^b f(x) dx - (b-a) f(\bar{x}) = \int_a^b f(x) dx - \int_a^b f(\bar{x}) dx = \int_a^b f(x) - f(\bar{x}) dx$$

$$f(x) = f(\bar{x}) + f'(\bar{x})(x - \bar{x}) + \frac{1}{2} f''(\eta(x))(x - \bar{x})^2, \text{ donde } \eta \in (x, \bar{x})$$

$$f(x) - f(\bar{x}) = f'(x)(x - \bar{x}) + \frac{1}{2} f''(\eta(x))(x - \bar{x})^2$$

Retomando

$$\begin{aligned} I(f) - I_{pm}(f) &= \int_a^b \left(f'(\bar{x})(x-\bar{x}) + \frac{1}{2} f''(\eta(x))(x-\bar{x})^2 \right) dx \\ &= \int_a^b f'(\bar{x})(x-\bar{x}) dx + \frac{1}{2} \int_a^b f''(\eta(x))(x-\bar{x})^2 dx \\ \int_a^b (x-\bar{x}) dx &= \frac{(x-\bar{x})^2}{2} \Big|_a^b = \frac{(b-\bar{x})^2}{2} - \frac{(a-\bar{x})^2}{2} = 0 \text{ pues } \bar{x} \text{ es el punto medio} \end{aligned}$$

$$I(f) - I_{pm}(f) = \frac{1}{2} \int_a^b f''(\eta(x))(x-\bar{x})^2 dx$$

Gracias al teorema del valor medio para integrales, sabemos que existe $\xi \in [a, b]$ tal que

$$\begin{aligned} I(f) - I_{pm}(f) &= \frac{1}{2} f''(\xi) \int_a^b (x-\bar{x})^2 dx \\ &= \frac{1}{2} f''(\xi) \frac{(x-\bar{x})^3}{3} \Big|_a^b \\ &= \frac{1}{6} f''(\xi) [(b-\bar{x})^3 - (a-\bar{x})^3] \\ &= \frac{1}{6} f''(\xi) \left(2 \frac{(b-a)^3}{8} \right) \end{aligned}$$

Lunes, 17 de enero de 2022.

Tenemos que

$$I(f) - I_{pm}(f) = \frac{1}{2} \int_a^b f''(\xi)(x-\bar{x})^2 dx$$

Por el teorema del valor medio

$$\begin{aligned} \int_a^b f''(\eta(x))(x-\bar{x})^2 dx &= (b-a) f''(\eta(c))(c-\bar{x})^2 \\ &= f''(\xi)(b-a)(c-\bar{x})^2 \\ &= f''(\xi) \int_a^b (c-\bar{x}) dx \end{aligned}$$

Para el caso de la regla del punto medio compuesta

$$I(f) - I_{pm}^c(f) = \frac{b-a}{24} H^2 f''(\xi) \quad \text{con } \xi \in [a, b].$$

Definición - Grado de exactitud-

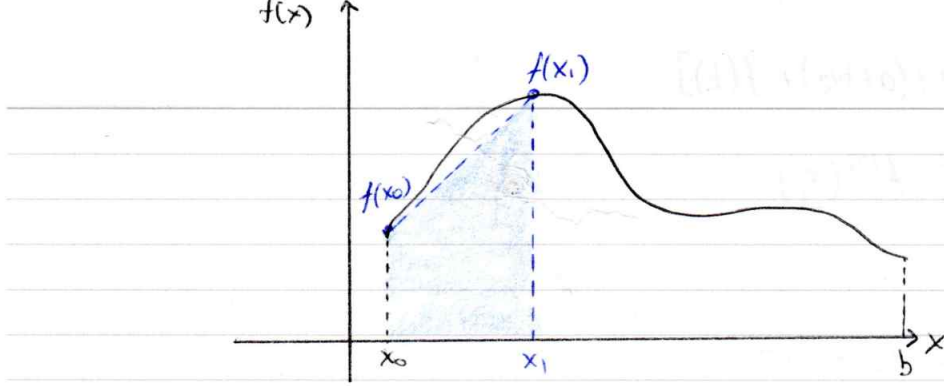
Llamaremos como grado de exactitud de una regla de cuadratura, al máximo entero $r \geq 0$ para el cual la integral aproximada, coincide con la integral exacta al evaluar la integral de un polinomio de grado r .

Observación: El grado de exactitud del punto medio (compuesta o clásica) es 1.

ⓐ Regla del trapecio.

$$I(f) = \sum_{k=1}^n \int_{I_k} f(x) dx$$

→ La aproximación se obtiene al reemplazar f sobre I_k con polinomio interpolante lineal, de f en los nodos x_{k-1} y x_k y reemplazando f por $\pi_1^k f$

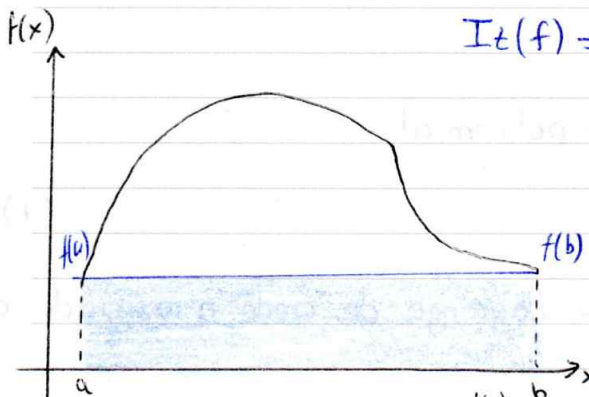


$$\begin{aligned}
 (7) \quad I_t^c(f) &= \sum_{k=1}^n [f(x_k) - f(x_{k-1})] \cdot \frac{H}{2} = \frac{H}{2} \sum_{k=1}^n [f(x_k) - f(x_{k-1})] \\
 &= \frac{H}{2} [f(a) + f(b)] + \sum_{k=1}^{n-1} f(x_k) \quad (8)
 \end{aligned}$$

Con respecto al error de esta regla de cuadratura

$$I(f) - I_t^c(f) = -\frac{b-a}{12} H^2 f''(\xi) \quad \text{con } \xi \in]a, b[, \text{ con } f \in C^2([a, b])$$

→ En el caso extremo, $m=1$

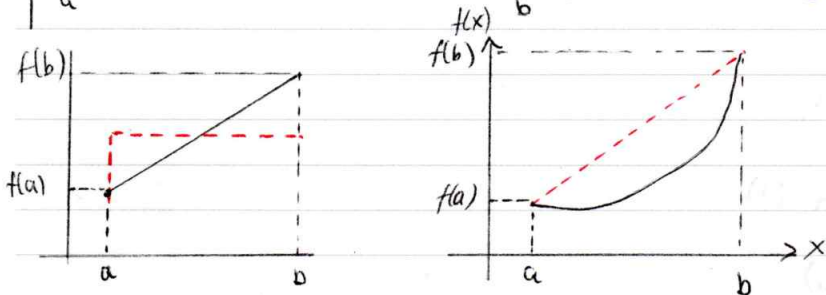


$$I_t(f) = \frac{b-a}{2} [f(a) + f(b)]$$

Con el siguiente error de cuadratura

$$I(f) - I_t(f) = -\frac{(b-a)^3}{12} f''(\xi)$$

→ Esta regla tiene grado de exactitud $r=1$.



⑨ Regla de Simpson

La idea es reemplazar f por su interpolante polinomial de grado 2 en cada I_k en los nodos x_{k-1}, x_k y $\bar{x}_k = \frac{x_{k-1} + x_k}{2}$. Así, $f \approx \Pi_2 f(x)$, donde

$$\begin{aligned}
 f \approx \Pi_2 f(x) &= \frac{2(x - \bar{x}_k)(x - x_k)}{H^2} f(x_{k-1}) + \frac{4(x_{k-1} - x)(x - x_k)}{H^2} f(\bar{x}_k) \\
 &\quad + \frac{2(x - \bar{x}_k)(x - x_{k-1})}{H^2} f(x_k)
 \end{aligned}$$

$$I_s^c(f) = \sum_{k=1}^n \int_{I_k} \Pi_2 f(x) = \sum_{k=1}^n \frac{H}{6} [f(x_{k-1}) + 4f(\bar{x}_k) + f(x_k)] \quad (9)$$

Con respecto al error, tenemos que

$$I(f) - I_s^c(f) = -\frac{b-a}{180} \frac{H^4}{16} f''''(\xi), \quad \text{con } f \in C^4([a, b]), \xi \in]a, b[. \quad (10)$$

Tomando $h=1$

$$I_5(f) = \frac{b-a}{6} [f(a) + 4f(a+b/2) + f(b)]$$

$$I(f) - I_5(f) = \frac{-(b-a)^5}{16 \times 180} f^{(4)}(\xi)$$

Martes, 18 de enero de 2022

$$y = [4, 3, 6, 2, 1]$$

$$dy = [-1, 3, -4, -1, ?]$$

$$d \cdot y = [x, -1, 3, -4, -1]$$

$$dy = [x, -1, 3, 4, x]$$

Newton-Cotes.

Recordando

$$I(f) = \int_a^b f(x) dx \approx \int_a^b \bar{f}(x) dx$$

$$I_n(f) \approx \int_a^b \Pi_n f(x) dx$$

→ Usando la forma de Lagrange de la interpolación polinomial

$$I_n f = \int_a^b \sum_{i=0}^n f(x_i) l_i(x) dx \quad (1)$$

donde $l_i(x)$ son los polinomios característicos de Lagrange de grado n asociado al nodo x_i

→ Si además definimos

$$(2) \quad d_i = \int_a^b l_i(x) dx,$$

entonces podemos reescribir la ecuación (1)

$$(3) \quad I_n f = \sum_{i=0}^n d_i f(x_i)$$

\hookrightarrow peso

→ A la forma (3) se la conoce como REGLA DE CUADRATURA DE LAGRANGE.

Lunes, 24 de enero de 2022

Regla de cuadratura de Lagrange

Consideremos nodos igualmente espaciados en $[a, b]$, es decir, para $n \geq 0$, notaremos los nodos de cuadratura como

$$x_k = x_0 + kh \quad k = 0, \dots, n$$

En el caso general, se puede definir

a) Fórmulas cerradas

$$x_0 = a, \quad x_n = b \quad h = \frac{b-a}{n} \quad n \geq 1$$

b) Fórmulas abiertas

$$x_0 = a+h, \quad x_n = b-h, \quad h = \frac{b-a}{n+2}, \quad n \geq 0.$$

Los pesos de cuadratura, dependen de n o h , pero no del intervalo de integración

→ Considerando las fórmulas cerradas y haciendo el siguiente cambio de variable

$$\begin{aligned} x &= \psi(t) = x_0 + tx \rightarrow \psi(0) = a \\ &\rightarrow \psi(n) = b \\ &\rightarrow \psi(k) = x_k \end{aligned}$$

$$\begin{aligned} l_i(x) &= \frac{(x-x_0)(x-x_k)(x-x_{i-1}) \cdots (x-x_n)}{(x_i-x_0)(x_i-x_k)(x_i-x_{i-1}) \cdots (x_i-x_n)} \\ \frac{x-x_k}{x_i-x_k} &= \frac{\psi(t)-\psi(k)}{\psi(i)-\psi(k)} = \frac{a+th - (a+tk)}{a+ih - (a+kh)} = \frac{t-k}{i-k} \end{aligned}$$

→ Por lo tanto

$$l_i(x) = \prod_{\substack{k=0 \\ k \neq i}}^n \frac{t-k}{i-k} = \varphi_i(t) \quad 0 \leq i \leq n$$

→ Se puede obtener los pesos de cuadratura

$$d_i = \int_a^b l_i(x) dx = \int_0^n \varphi_i(t) h dt \Rightarrow d_i = h \int_0^n \varphi_i(t) dt$$

→ Ahora, la regla de cuadratura de Lagrange se obtiene como

$$(5) \Rightarrow I_n(f) = h \sum_{i=0}^n w_i f(x_i), \quad w_i = \int_0^n \varphi_i(t) dt.$$

Ejemplo: $n=1$

$$I_1(f) = h[w_0 f(x_0) + w_1 f(x_1)] \quad w_0 = \int_0^1 \varphi_0(t) dt = \int_0^1 \frac{t-1}{-1} dt = \int_0^1 (1-t) dt = \frac{1}{2}$$

(trapezoido clásica) $= \frac{h}{2} [f(x_0) + f(x_1)] \quad w_1 = \int_0^1 \varphi_1(t) dt = \int_0^1 \frac{t-0}{1} dt = \frac{1}{2}$

Usando las formulas abiertas $x = \psi(t)$

$$\begin{aligned} x_0 &= a+h, \quad x_n = b-h \quad x_n = a+h(n+1), \quad k=1, \dots, n-1 \\ x_{-1} &= a, \quad x_{n+1} = b. \end{aligned}$$

Para este caso

$$d_i = h \int_{-1}^{n+1} \varphi_i(t) dt.$$

De tal manera que

$$I_n(f) = h \sum_{i=0}^n w_i f(x_i), \quad w_i = \int_{-1}^{n+1} \varphi_i(t) dt.$$

Teorema: Para cualquier fórmula de Newton-Cotes correspondiente a un n par, la siguiente caracterización del error se cumple

$$E_n(f) = \frac{H_n}{(n+2)!} h^{n+3} f^{(n+2)}(\xi)$$

asumiendo que $f \in C^{(n+2)}([a,b])$ y con $\xi \in]a,b[$.

$$H_n = \begin{cases} \int_0^n t \pi_{n+1}(t) dt < 0 & \text{(Fórmulas cerradas)} \\ \int_{-1}^{n+1} t \pi_{n+1}(t) dt > 0 & \text{(Fórmulas abiertas)} \end{cases}$$

notando $\Pi_{n+1}(t) = \prod_{i=0}^n (t-x_i)$. De donde, se tiene que este método tendrá un grado de exactitud de $n+1$ y orden $n+3$.

De manera similar, para n impar, se satisface la siguiente estimación de error

$$E_n(f) = \frac{K_n}{(n+1)!} h^{n+2} f^{(n+1)}(\eta)$$

asumiendo $f \in C^{(n+1)}([a,b])$, $\eta \in (a,b)$ y

$$K_n = \begin{cases} \int_0^{\pi} \Pi_{n+1}(t) dt < 0 & \text{(Fórmulas cerradas)} \\ \int_1^{n+1} \Pi_{n+1}(t) dt > 0 & \text{(Fórmulas abiertas)} \end{cases}$$

Demostración (Completa Isaacson and Keller, Analysis of Numerical Methods, Wiley, 308-314)

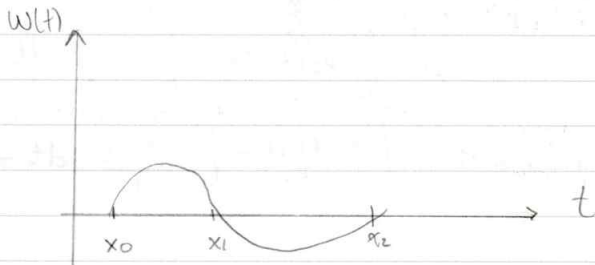
* nos enfocaremos en el caso n par, usando fórmulas cerradas

$$\begin{aligned} E_n(f) &= I(f) - I_n(f) = \int_a^b f(x) dx - \int_a^b \Pi_n(f)(x) dx \\ &= \int_a^b f(x) - \Pi_n(f)(x) dx \\ &= \int_a^b f[x_0, \dots, x_n] \underbrace{w_{n+1}(x)}_{\text{polinomio nodal de grado } n+1} dx \end{aligned} \quad (6)$$

Ahora, notemos la siguiente función auxiliar

$$W(x) = \int_a^x w_{n+1}(t) dt, \quad W(a) = 0$$

Como n es par, entonces $w_{n+1}(t) = (t-x_0)(t-x_1)\dots(t-x_n)$



w_{n+1} es una función impar con respecto a $(a+b)/2$

$\rightarrow w_{n+1}(t)$ es impar, $w(b) = 0$.

Integrando por partes (6)

$$\begin{aligned} E_n(f) &= \int_a^b f[x_0, \dots, x_n, x] w'(x) dx = f[x_0, \dots, x_n, x] W(x) \Big|_a^b - \int_a^b w(x) \frac{d}{dx} f[x_0, \dots, x_n, x] dx \\ &= - \int_a^b w(x) \frac{d}{dx} f[x_0, \dots, x_n, x] dx \end{aligned}$$

deber. $\frac{d}{dx} f[x_0, \dots, x_n, x] = f[x_0, \dots, x_n, x, x]$

$$E_n(f) = - \int_a^b w(x) F[x_0, \dots, x_n, x, x] dx \quad (7)$$

Usando el error de interpolación usando la forma de Newton

$$f[x_0, \dots, x_n, x, x] = \frac{f^{(n+2)}(\xi)}{(n+2)!}$$

Ahora, podemos reescribir (7) de la siguiente manera

$$E_n(f) = - \int_a^b \frac{f^{(n+2)}(\xi)}{(n+2)!} w(x) dx$$

$$= - \frac{f^{(n+2)}(\xi_j)}{(n+2)!} \int_a^b w(x) dx$$

Retomando la forma original de w

$$E_n(f) = - \frac{f^{(n+2)}(\xi_j)}{(n+2)!} \int_a^b \int_a^x w_{n+1}(t) dt dx$$

Intercambiando el orden de integración y fijando $s = x_0 + th$ con $0 \leq t \leq n$, $a = x_0$, $b = x_n$

$$\int_a^b w(x) dx = \int_a^b \int_a^x w_{n+1}(t) dt dx = \int_a^b \int_s^b w_{n+1}(s) dx ds$$

$$= \int_a^b \int_s^b (s-x_0)(s-x_1)\dots(s-x_n) dx ds$$

$$= \int_a^b (s-x_0)\dots(s-x_n) \int_s^b dx ds$$

$$(s-x_0) = (x_0 + zh - x_0) = zh$$

$$(s-x_1) = (x_0 + zh - x_0 - h)$$

$$= h(z-1)$$

$$= \int_a^b (s-x_0)\dots(s-x_n)(x_n-s) ds$$

$$= \int_0^n (h\tau)(h(\tau-1))(h(\tau-2))\dots(h(\tau-n))(-h(\tau-n)) h d\tau$$

$$= \int_0^n h^{n+3} [\tau(\tau-1)(\tau-2)\dots(\tau-n+1)(\tau-n)^2] d\tau$$

tomando $t = n - \tau$

$$= h^{n+3} \int_0^n t^2(1-t)(2-t)\dots(n-t) dt$$

$$= h^{n+3} \int_0^n t(t-1)(t-2)\dots(t-n) dt$$

Así,

$$\int_a^b w(x) dx = h^{n+3} \int_0^n \underbrace{t \Pi_{n+1}(t)}_{H_n} dt \Rightarrow E_n(f) = \frac{h_n}{(n+2)!} h^{n+3} f^{(n+2)}(\xi)$$

Lunes, 31 de enero de 2022

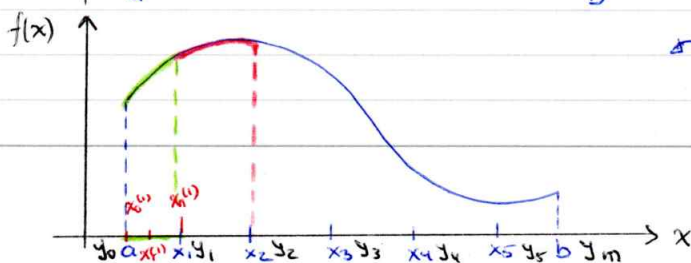
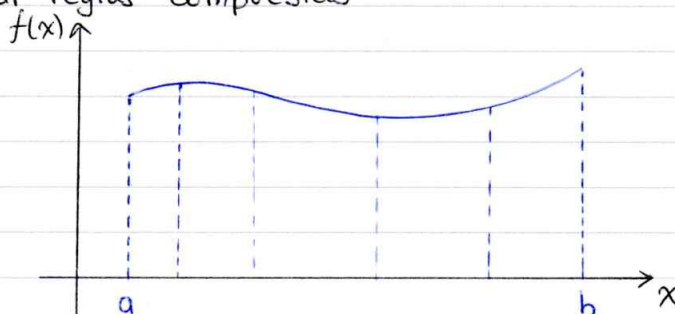
Observación

$$I(f) = \int_{-5}^5 \frac{1}{1+x^2} dx$$

← función de Runge

→ En la práctica, no se recomienda usar los métodos de Newton-Cotes para más de 8 nodos.

Solución: Utilizar reglas compuestas



~ Estrategia: separar en intervalos
Reemplazar f por un polinomio interpolante a trozos

El procedimiento consiste en partir el intervalo de integración $[a, b]$ en m subintervalos $T_j = [y_j, y_{j+1}]$ tal que

$$y_j = a + jH \quad \text{con} \quad H = \frac{b-a}{m} \quad j = 0, \dots, m$$

Después, sobre cada intervalo, se aplica la interpolación polinomial en los nodos $\{x_k^{(j)}, 0 \leq k \leq n\}$ con pesos $\{\alpha_k^{(j)}, 0 \leq k \leq n\}$.

Entonces

$$I(f) = \int_a^b f(x) dx = \sum_{j=0}^{m-1} \int_{T_j} f(x) dx$$

Usando las reglas de Newton-Cotes sobre T_j tenemos

$$I_{n,m}(f) = \sum_{j=0}^{m-1} \sum_{k=0}^n \alpha_k^{(j)} f(x_k^{(j)}) \quad (1)$$

y por lo tanto, el error de cuadratura será

$$E_{n,m} = I(f) - I_{n,m}(f) \quad (2)$$

Teorema. Sea la regla de Newton-Cotes compuesta con n par. Si $f \in C^{n+2}([a, b])$, entonces se cumple la siguiente estimación

$$E_{n,m}(f) = \frac{b-a}{(n+2)!} \frac{\mu_n}{(n+2)^{n+3}} H^{n+2} f^{(n+2)}(\xi) \quad \text{con } \xi \in (a, b)$$

Para n impar, si $f \in C^{n+1}([a, b])$

$$E_{n,m}(f) = \frac{b-a}{(n+1)!} \frac{\kappa_n}{n^{n+2}} H^{n+1} f^{(n+1)}(\eta) \quad \text{con } \eta \in (a, b)$$

Demostración.

↳ Caso: n par

Definimos

$$\begin{aligned} E_{n,m}(f) &= I(f) - I_{n,m}(f) = \sum_{j=0}^{m-1} I(f)|_{T_j} - \sum_{j=0}^{m-1} I_n(f)|_{T_j} \\ &= \sum_{j=0}^{m-1} [I(f)|_{T_j} - I_n(f)|_{T_j}] \\ &= \sum_{j=0}^{m-1} E_n(f)|_{T_j} \\ &= \sum_{j=0}^{m-1} \frac{\mu_n}{(n+2)!} h_j^{(n+3)} f^{(n+2)}(\xi_j) \quad \text{con } \xi_j \in T_j \end{aligned}$$

Donde, para todo $j = 0, \dots, (m-1)$ se tiene:

$$h_j = \frac{|T_j|}{n+2} = \frac{b-a}{m(n+2)}$$

Por lo tanto,

$$\begin{aligned} E_{n,m}(f) &= \frac{\mu_n}{(n+2)!} \sum_{j=0}^{m-1} h_j^{(n+3)} f^{(n+2)}(\xi_j) \\ &= \frac{\mu_n}{(n+2)!} \sum_{j=0}^{m-1} \left(\frac{b-a}{m(n+2)} \right)^{n+3} f^{(n+2)}(\xi_j) \end{aligned}$$

Notando que $H = \frac{b-a}{m}$, entonces

$$E_{n,m}(f) = \frac{H_n}{(n+2)!} \frac{(b-a)^{n+3}}{m(n+2)^{n+3}} H^{n+2} \sum_{j=0}^{m-1} f^{(n+2)}(\xi_j)$$

Teorema del valor medio discreto.

Sea $u \in C^0([a,b])$ y sea $\{x_j\}$ un conjunto de $s+1$ puntos en $[a,b]$ y δ_j con $j=0, \dots, s$ constantes con el mismo signo. Entonces, existe $\eta \in (a,b)$ tal que

$$\sum_{j=0}^s \delta_j u(x_j) = u(\eta) \sum_{j=0}^s \delta_j$$

Usando el teorema del valor medio discreto con $u(x) = f^{(n+2)}(x)$ y $\delta_j = 1$ con $j=0, \dots, m-1$; entonces, existe $\xi \in (a,b)$ tal que

$$E_{n,m}(f) = \frac{H_n}{(n+2)!} \frac{(b-a)^{n+3}}{m(n+2)^{n+3}} H^{n+2} f^{(n+2)}(\xi) \sum_{j=0}^{m-1} 1$$

$$= \frac{H_n}{(n+2)!} \frac{(b-a)^{n+3}}{(n+2)^{n+3}} H^{n+2} f^{(n+2)}(\xi) \quad \text{con } \xi \in (a,b)$$

Teorema. Sea $f \in C^0([a,b])$ y asumiendo que los pesos $d_k^{(j)}$ son no negativos, entonces

$$\lim_{m \rightarrow \infty} I_{n,m}(f) = \int_a^b f(x) dx \quad \forall n \geq 0.$$

Más aún,

$$\left| \int_a^b f(x) dx - I_{n,m}(f) \right| \leq 2(b-a) \Omega(f; H)$$

donde

$$\Omega(f; H) = \sup \{ |f(x) - f(y)|, x, y \in [a,b], x \neq y, |x-y| \leq H \}$$

es el módulo de continuidad de f .

Integración de Montecarlo.

- Aproximar integrales multidimensionales $f: \mathbb{R}^n \rightarrow \mathbb{R}$ con n muy grande.
- La idea básica es considerar la misma como un valor medio estadístico

$$\int_{\Omega} f(x) dx = |\Omega| \int_{\mathbb{R}^n} \chi_{\Omega}(x) f(x) dx, \quad \text{donde } x = (x_1, \dots, x_n)^T, |\Omega| \text{ es el}$$

volumen n -dimensional de Ω (medida). χ_{Ω} es la función característica de Ω .

$$\int_{\Omega} f(x) dx = |\Omega| \mu(f)$$

Con $\mu(f)$: es el valor medio de $f(\hat{x})$ donde $\hat{x} \in \mathbb{R}^n$ es una variable aleatoria

↳ Recordando: Una variable aleatoria $\hat{x} \in \mathbb{R}^n$ es una n -tupla de valores reales $(\hat{x}_1(z), \dots, \hat{x}_n(z))$ asignado a la salida de un experimento

Fijando $x \in \mathbb{R}^n$, la probabilidad $P(\hat{X} \leq x)$ de que el evento $\{\hat{x}_1 \leq x_1, \dots, \hat{x}_n \leq x_n\}$ es

$$P(\hat{X} \leq x) = \int_{-\infty}^{x_1} \int_{-\infty}^{x_2} \dots \int_{-\infty}^{x_n} f(\hat{x}_1, \dots, \hat{x}_n) d\hat{x}_1 d\hat{x}_2 \dots d\hat{x}_n$$

donde $f(\hat{x})$ es la densidad de probabilidad de $\hat{x} \in \mathbb{R}^n$.

$$f(\hat{x}_1, \dots, \hat{x}_n) \geq 0$$

$$\int_{\mathbb{R}^n} f(\hat{x}_1, \dots, \hat{x}_n) d\hat{x} = 1.$$

Una forma de aproximar el valor medio es usando N muestras independientes $x_1, \dots, x_N \in \mathbb{R}^n$ con probabilidad $|\Omega|^{-1} \chi_\Omega$ y calcular su promedio

$$\bar{f}_N = \frac{1}{N} \sum_{i=1}^N f(x_i) = I_N(f)$$

→ Ley de los grandes números.

Con probabilidad 1, sabemos que $\bar{f}_N \xrightarrow{c.s.} \mu(f)$ cuando $N \rightarrow +\infty$

↳ $E_N(f) = \mu(f) - I_N(f)$ está dada por la varianza

$$\sigma(I_N(f)) = \sqrt{\mu(I_N(f) - \mu(f))^2} = \sigma / \sqrt{N}$$

Martes, 1 de febrero de 2022

Sistemas de ecuaciones diferenciales ordinarias (EDOs)

→ Ecuación diferencial ordinaria.

$$\frac{dy(t)}{dt} = f(t)$$

¿Por qué estudiar estas ecuaciones?

↳ Modelamiento de sistemas dinámicos

* Epidemiológicos

* Robótica

* Termodinámica

* Dinámica poblacional

El problema de Cauchy (Problema de valor inicial)

→ EDO de orden 1

→ Problema: Sea $y: I \rightarrow \mathbb{R}$

$$\frac{dy(t)}{dt} = f(t, y(t)) \quad \forall t \in I$$

$$\Rightarrow \int_I \frac{dy(t)}{dt} = \int_I f(t, y(t)) dt$$

Se genera una familia de soluciones

El problema de Cauchy escoge una de estas posibles soluciones fijando una condición inicial

→ Problema de Cauchy

$$(r) \begin{cases} \frac{dy(t)}{dt} = f(t, y(t)) & \forall t \in I \\ y(t_0) = y_0 \end{cases}$$

donde I es un intervalo en \mathbb{R} , $f: I \times \mathbb{R} \rightarrow \mathbb{R}$ es una función clara, t_0 es un punto de I y y_0 es un valor dado en t_0 llamado DATO INICIAL.

Existencia y unicidad de la solución

Teorema. Sea una función $f(t, y)$ tal que

① f sea continua respecto a los dos argumentos

② Lipschitz continua con respecto al segundo argumento

$$|f(t, y_1) - f(t, y_2)| \leq L|y_1 - y_2| \quad \forall t \in I, y_1, y_2 \in \mathbb{R}$$

Entonces la solución para el problema (1) existe, sea única y $y \in C^1(I)$

Solución analítica

↳ Solo se puede obtener para ciertos problemas simples (relativamente)

↳ En casos más complejos, tenemos soluciones que solo están disponibles de manera implícita.

$$\frac{dy(t)}{dt} = \frac{y-t}{y+t}$$

cuya solución satisface la siguiente relación

$$\frac{1}{2} \ln(t^2 + y^2) + \arctan\left(\frac{y}{t}\right) = c$$

En otros casos, $y'(t) = e^{-t^2}$ su solución se expresa a través de una relación en series.

∴ Es necesaria una aproximación numérica de la solución

Estrategia numérica.

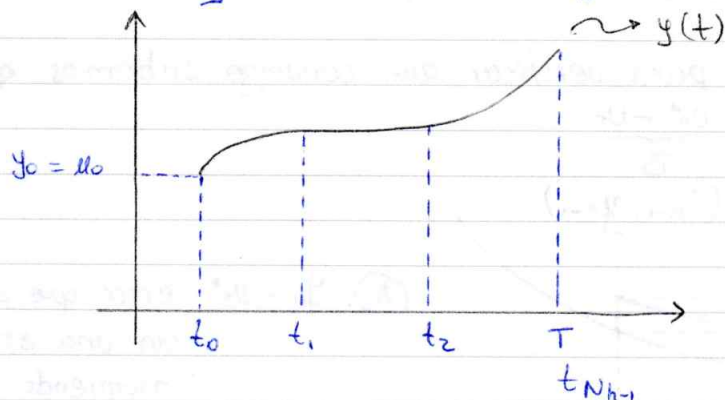
→ Subdividir el intervalo $I = [t_0, T]$ con $T < +\infty$ en N_h intervalos de tamaño

$$h = \frac{T - t_0}{N_h}$$

→ A h se lo conoce como paso de discretización

→ Para cada nodo t_n ($0 \leq n \leq N_h$) buscamos un valor u_n que es una aproximación (exacta) de la solución $y_n = y(t_n)$

→ Solución es el conjunto $\{u_0, u_1, \dots, u_{N_h}\}$



Métodos Euler

i) Forward Euler (Explícito)

$$\frac{dy(t)}{dt} = f(t, y)$$

Aproximando la derivada usando diferencias finitas hacia adelante

$$\frac{u(t_{n+1}) - u(t_n)}{h} = f(t_n, u(t_n))$$

$$u(t_{n+1}) = u(t_n) + h f(t_n, u(t_n)) \quad (2)$$

Notando $u_{n+1} = u(t_{n+1})$, $f_n = f(t_n, u(t_n))$, entonces (2) se puede escribir de la siguiente manera

$$u_{n+1} = u_n + h f_n \quad (3)$$

Este cálculo se realiza para cada nodo t_n , $n = 1, \dots, N_h - 1$

② Backward Euler (Implícito)

$$u_{n+1} = u_n + h f_{n+1}$$

con $f_{n+1} = f(t_{n+1}, u(t_{n+1}))$.

$$g(u_{n+1}) = u_{n+1} - h f_{n+1} - u_n \rightarrow g(u_{n+1}) = 0$$

③ Método del trapecio (Crank-Nicolson)

$$u_{n+1} = u_n + \frac{h}{2} [f_n + f_{n+1}] \quad (5)$$

$$\int_{t_n}^{t_{n+1}} y'(z) dz = \int_{t_n}^{t_{n+1}} f(z, y(z)) dz \Rightarrow \int_{t_n}^{t_{n+1}} f(z, y(z)) dz = y(t) - y(t_0) \approx \frac{h}{2} [f_n + f_{n+1}]$$

$$\hookrightarrow u_{n+1} - u_n = \frac{h}{2} [f_n + f_{n+1}]$$

④ Método de Heun (explícito)

$$u_{n+1} = u_n + \frac{h}{2} [f_n + f(t_{n+1}, u_n + h f_n)] \quad (6)$$

Estos métodos se conocen como métodos a un paso

Martes, 8 de febrero de 2022.

Definición - Método convergente-

Un método que resuelve la ecuación de Cauchy es convergente si

$$f_n = 0, \dots, N_h \quad |y_n - u_n| \leq C(h)$$

donde $C(h)$ es un infinitesimal de h (paso de discretización). Es decir, si $h \rightarrow 0$, entonces $C(h) \rightarrow 0$.

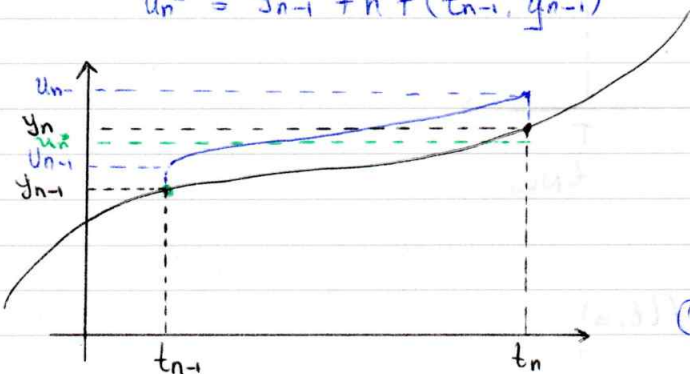
$C(h) = O(h^p)$ para $p > 0$, converge con orden p

Para el método de Euler explícito, para verificar que converge sabemos que

$$e_n = y_n - u_n = \underbrace{y_n - u_n^*}_A + \underbrace{u_n^* - u_n}_B$$

donde

$$u_n^* = y_{n-1} + h f(t_{n-1}, y_{n-1})$$



(A) $y_n - u_n^*$ error que se produce en una sola iteración asumiendo que no se tiene error previo.

(B) $u_n^* - u_n$ error de propagación

Para que un método sea convergente, es necesario que tanto A como B tiendan a cero a medida que h tiende a cero

Euler explícito

$$\begin{aligned} y_n - u_n^* &= y_n - y_{n-1} - h f(t_{n-1}, y_{n-1}) \\ &= h \delta_t y(t_{n-1}) - h f(t_{n-1}, y_{n-1}) \\ &= h (\delta_t y(t_{n-1})) - \frac{dy}{dt}(t_{n-1}) = h \left(\frac{h}{2} y''(\xi_n) \right) \text{ con } \xi_n \in (t_{n-1}, t_n) \\ &= \frac{h^2}{2} y''(\xi) \end{aligned}$$

Definición: Error local de truncación.

$$\frac{y_n - u_n^*}{h} = \tau_n(h) \quad \text{Para Euler} \quad \tau_n(h) = \frac{h}{2} y''(\xi)$$

Error global de truncación

$$\tau(h) = \max_{n=0, \dots, N_h} |\tau_n(h)|$$

Para Euler explícito,

$$\tau(h) = \frac{Hh}{2} \quad \text{con} \quad H = \max_{t \in [t_0, T]} |y''(t)|$$

Por lo tanto, para Euler $\tau(h) \rightarrow 0$ a medida que $h \rightarrow 0$

Definición Un método para el cual $\tau(h) \rightarrow 0$ cuando $h \rightarrow 0$, se lo conoce como método consistente.

Ahora, para (B) analizando la convergencia del método de Euler explícito

$$\begin{aligned} u_n^* - u_n &= y_{n-1} + hf(t_{n-1}, y_{n-1}) - u_{n-1} + hf(t_{n-1}, u_{n-1}) \\ &= e_{n-1} + h[f(t_{n-1}, y_{n-1}) - f(t_{n-1}, u_{n-1})] \\ &\leq |e_{n-1}| + h|f(t_{n-1}, y_{n-1}) - f(t_{n-1}, u_{n-1})| \\ &\leq |e_{n-1}| + hL|y_{n-1} - u_{n-1}| \\ &\leq (1+hL)|e_{n-1}| \end{aligned}$$

Sea $e_0 = y_0 - u_0 = 0$ tenemos que e_n es

$$\begin{aligned} |e_n| &= |y_n - u_n^* + u_n^* - u_n| \\ &\leq |y_n - u_n^*| + |u_n^* - u_n| \\ &\leq h|\tau_n(h)| + (1+hL)|e_{n-1}| \\ &\leq h|\tau_n(h)| + (1+hL)[h|\tau_{n-1}(h)| + (1+hL)|e_{n-2}|] \\ &\leq h|\tau_n(h)| + (1+hL)[h|\tau_n(h)| + (1+hL)|e_{n-2}|] \\ &\leq (1 + (1+hL) + (1+hL)^2 + \dots + (1+hL)^{n-1}) h \tau(h) \end{aligned}$$

$$\sum_{k=0}^{n-1} (1+hL)^k = \frac{(1+hL)^n - 1}{hL}$$
$$(1+hL) \leq e^{hL}$$

Así

$$\frac{(1+hL)^n - 1}{L} \tau(h) \leq \frac{e^{L(t_n - t_0)} - 1}{L} \tau(h)$$

$$|e_n| \leq \frac{e^{L(t-t_0)} - 1}{L} \frac{H}{2} h \quad \forall n = 0, \dots, N_h$$

→ Por lo tanto, el método de Euler explícito converge con orden 1.

Lunes, 14 de febrero de 2022.

Métodos a un paso

Son métodos que se pueden escribir de la siguiente forma

$$u_{n+1} = u_n + h \Phi(t_n, u_n, t_n, h) \quad \forall 0 \leq n \leq N_h - 1$$

con $u_0 = y_0$. A la función Φ se la conoce como función de incremento. $y_n = y(t_n)$

↳ Euler explícito: $\Phi(t_n, u_n, f_n; h) = f(t_n, u_n)$

↳ Heun : $\Phi(t_n, u_n, f_n; h) = 1/2 [f_n + f(t_{n+1}, u_n + hf_n)]$

Cero estabilidad.

Definición: Un método (1) para resolver el problema de Cauchy es cero estable si

$$(\exists h_0 > 0)(\exists C > 0) : \forall h \in (0, h_0] , |z_n - u_n| \leq C \epsilon$$

con $0 \leq 0 \leq N h_0$.

Donde C es una constante que puede depender del intervalo I de integración y z_n es la solución al siguiente problema perturbado

$$(2) \begin{cases} z_{n+1} = z_n + h [\Phi(t_n, z_n, f_n; h) + \delta_{n+1}] \\ z_0 = y_0 + \delta_0 \end{cases}$$

Recordando el problema sin perturba

$$(3) \begin{cases} u_{n+1} = u_n + h \Phi(t_n, u_n, f_n; h) \\ u_0 = y_0 \end{cases}$$

Asumiendo que $|\delta_k| < \epsilon$, con $0 \leq k \leq \epsilon$.



Teorema 1 Considere a un método a un paso (1) para la solución del problema de Cauchy. Asumiendo que la función de incremento Φ es Lipschitz continua con respecto a la segunda variable, con constante Λ independiente de h y de los nodos t_j $[t_0, t_0 + T]$ es decir

$$(\exists h_0 > 0)(\exists \Lambda > 0) : (\forall h \in]0, h_0[$$

$$|\Phi(t_n, u_n, f(t_n, u_n); h) - \Phi(t_n, z_n, f(t_n, z_n); h)| \leq \Lambda |u_n - z_n|, \forall 0 \leq n \leq N h$$

Entonces el método (1) es cero-estable

Demostración:

Fijemos $w_j = z_j - u_j$ y restando (2) de (3), tenemos que

$$w_{j+1} = z_{j+1} - u_{j+1}$$

$$= z_j + h [\Phi(t_j, z_j, f(t_j, z_j); h) + \delta_{j+1}] - u_j - h \Phi(t_j, u_j, f(t_j, u_j); h)$$

$$\Rightarrow w_{j+1} = w_j + h [\Phi(t_j, z_j, f(t_j, z_j); h) - \Phi(t_j, u_j, f(t_j, u_j); h) + \delta_{j+1} h]$$

Sumando sobre $j=0, \dots, n-1$

$$w_n = w_0 + h \sum_{j=0}^{n-1} \delta_{j+1} + h \sum_{j=0}^{n-1} [\Phi(t_j, z_j, f(t_j, z_j); h) - \Phi(t_j, u_j, f(t_j, u_j); h)]$$

Tomando el valor absoluto en ambos lados

$$|w_n| \leq |w_0| + h \sum_{j=0}^{n-1} |\delta_{j+1}| + h \sum_{j=0}^{n-1} |\Phi(t_j, z_j, f(t_j, z_j); h) - \Phi(t_j, u_j, f(t_j, u_j); h)|$$

Ahora, usando la Lipschitz continuidad de la función de incremento

$$|w_n| \leq |w_0| + h \sum_{j=0}^{n-1} |\delta_{j+1}| + h \Lambda \sum_{j=0}^{n-1} |z_j - u_j|$$

$$= |w_0| + h \sum_{j=0}^{n-1} |\delta_{j+1}| + h \Lambda \sum_{j=0}^{n-1} |w_j|$$

Lema de Gronwall Discreto.

Sea $(k_n)_n$ una sucesión no negativa y φ_n una sucesión tal que

$$\begin{cases} \varphi_0 \leq g_0 \\ \varphi_n \leq g_0 + \sum_{s=0}^{n-1} p_s + \sum_{s=0}^{n-1} k_s \varphi_s, \quad n \geq 1 \end{cases}$$

Si $g_0 \geq 0$ y $p_n \geq 0$, entonces $\forall n \geq 0$ tenemos que

$$y_n \leq \left(g_0 + \sum_{s=0}^{n-1} p_s \right) \exp\left(\sum_{s=0}^{n-1} k_s \right) \quad \forall n \geq 1$$

- Continuando con la demostración -

Aplicando el lema de Gronwall discreto a (4) tenemos que

$$|w_n| \leq (1+hn) \varepsilon e^{nh\alpha} \quad 1 \leq n \leq N_h$$

$$\Leftrightarrow |w_n| \leq \underbrace{(1+\tau)}_C e^{\tau n} \varepsilon$$

Teorema de equivalencia. (Lax-Ritchmyer)

↳ Todo método consistente es convergente si y solo si es cero-estable

Teorema: Bajo las mismas hipótesis de Teorema 1 se tiene que

$$|y_n - u_n| \leq (|y_0 - u_0| + nhL(h)) e^{nh\alpha}, \quad 1 \leq n \leq N_h$$

Si además, el método es consistente y $|y_0 - u_0| \rightarrow 0$ a medida que $h \rightarrow 0$ entonces el método es convergente (error local)

Demostración:

Vamos a tomar $w_j = y_j - u_j$, tomando las iteraciones correspondientes

$$u_{j+1} = u_j + h\Phi(t_j, u_j, f(t_j, u_j); h)$$

$$y_{j+1} = y_j + h\Phi(t_j, y_j, f(t_j, y_j); h) + h\tau_{j+1}(h)$$

u_{j+1}^*

$$w_{j+1} = y_{j+1} - u_{j+1}$$

$$= y_j + h\Phi(t_j, y_j, f(t_j, y_j); h) + h\tau_{j+1}(h)$$

$$- u_j - h\Phi(t_j, u_j, f(t_j, u_j); h)$$

$$= w_j + h[\Phi(t_j, y_j, f(t_j, y_j); h) - \Phi(t_j, u_j, f(t_j, u_j); h)]$$

Sumar sobre $j=0, \dots, n-1$

$$w_n = w_0 + \sum_{j=0}^{n-1} h\tau_{j+1}(h) + h \sum_{j=0}^{n-1} (\Phi(t_j, y_j, f(t_j, y_j); h) - \Phi(t_j, u_j, f(t_j, u_j); h))$$

Tomamos el valor absoluto en ambos lados y aplicamos la desigualdad triangular

$$|w_n| \leq |w_0| + h \sum_{j=0}^{n-1} |\tau_{j+1}(h)| + h \sum_{j=0}^{n-1} |\Phi(t_j, y_j, f(t_j, y_j); h) - \Phi(t_j, u_j, f(t_j, u_j); h)|$$

Usando la Lipschitz continuidad de Φ tenemos que

$$|w_n| \leq |w_0| + h \sum_{j=0}^{n-1} |\tau_{j+1}(h)| + h\Lambda \sum_{j=0}^{n-1} |w_j|, \quad 1 \leq n \leq N_h$$

Acotando $\tau(h) = \max_j |\tau_{j+1}(h)|$

$$|w_n| \leq |w_0| + h \sum_{j=0}^{n-1} \tau(h) + \sum_{j=0}^{n-1} h\Lambda |w_j|$$

Aplicando la desigualdad de Gronwall

$$|w_n| \leq \left(|w_0| + hn\tau(h) \right) e^{h\Lambda n}$$

No todo método consistente es convergente

Martes 15 de febrero de 2022.

Estabilidad absoluta.

Estabilidad sobre intervalos no acotados

↳ $I = [t_0, T]$ → Partición de N_h subintervalos

Los intervalos $N_h \rightarrow \infty$ a medida que $h \rightarrow 0$

¿Qué pasa si integramos sobre un intervalo muy grande $T \rightarrow +\infty$?

En este caso, incluso si h está fijo, $Nh \rightarrow +\infty$

$$|y_n - u_n| \leq \frac{e^{L(t_n - t_0)} - 1}{L} \frac{M}{2} h \leq t_0 \quad \{ \text{la cota se vuelve trivial} \}$$

Por ejemplo, analicemos el método de Euler explícito sobre un intervalo muy grande. Para esto, utilizaremos el siguiente problema modelo

$$(1) \begin{cases} y'(t) = \lambda y(t) \\ y(0) = 1 \end{cases} \quad t \in (0, +\infty)$$

donde $\lambda \in \mathbb{R}^-$

El problema (1) tiene una solución exacta $y(t) = e^{\lambda t}$. Sabemos que $y(t) \rightarrow 0$ a medida que $t \rightarrow +\infty$

Por lo tanto, aplicando el método de Euler explícito al problema (1), tenemos

$$u_1 = u_0 + hf(t_0, u_0) = u_0 + h\lambda u_0$$

$$u_1 = (1 + h\lambda)u_0$$

$$u_2 = u_1 + hf(t_1, u_1) = (1 + h\lambda)u_1 = (1 + h\lambda)^2 u_0 = (1 + h\lambda)^2$$

$$(2) \quad u_{n+1} = (1 + h\lambda)^{n+1}$$

Para que (2) $\rightarrow 0$, e.d. $(1 + h\lambda)^n = u_n \rightarrow 0$, con $n \rightarrow +\infty$, se debe cumplir que

$$|1 + h\lambda| < 1$$

$$-1 < 1 + h\lambda < 1$$

$$-2 < h\lambda < 0$$

$$\Rightarrow h < 2/|\lambda| \quad \text{garantiza que } u_n \rightarrow 0$$

En otro caso, si $h \geq 2/|\lambda|$ sabemos que $u_n \rightarrow +\infty$.

Métodos condicionalmente, absolutamente estables \uparrow
Una conclusión similar se puede obtener si $\lambda \in \mathbb{C}$ con parte real negativa de t .

Ahora, si tomamos otros métodos:

Euler implícito.

$$u_{n+1} = u_n + h\lambda u_{n+1}$$

$$u_1 = u_0 + h\lambda u_1$$

$$u_1 = \left(\frac{1}{1 - h\lambda} \right), \quad n \geq 0$$

Recordando que $h > 0$; así $|1 - h\lambda| > 1$, por lo tanto, como $h > 0$ y $\lambda < 0$, entonces $u_n \rightarrow 0$ siempre

Métodos incondicionalmente absolutamente estables

Crank - Nicholson

$$u_{n+1} = u_n + \frac{h}{2} [f_n + f_{n+1}]$$

$$u_{n+1} = \left[\left(1 + \frac{\lambda h}{2} \right) \left(1 - \frac{\lambda h}{2} \right) \right]^{n+1}$$

incondicionalmente estable

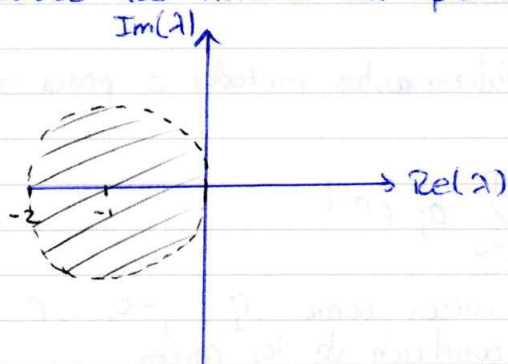
Región de estabilidad absoluta.

Tomemos el problema (1) con $\lambda \in \mathbb{C}$ con parte real negativa.

Sabemos la solución $y(t) = e^{-t}$ tiende a 0, $t \rightarrow +\infty$.
 Llamaremos como la **REGIÓN DE ESTABILIDAD ABSOLUTA** A de un método numérico al conjunto de números complejos $z = h\lambda$ para los cuales el método es absolutamente (convergente) estable.

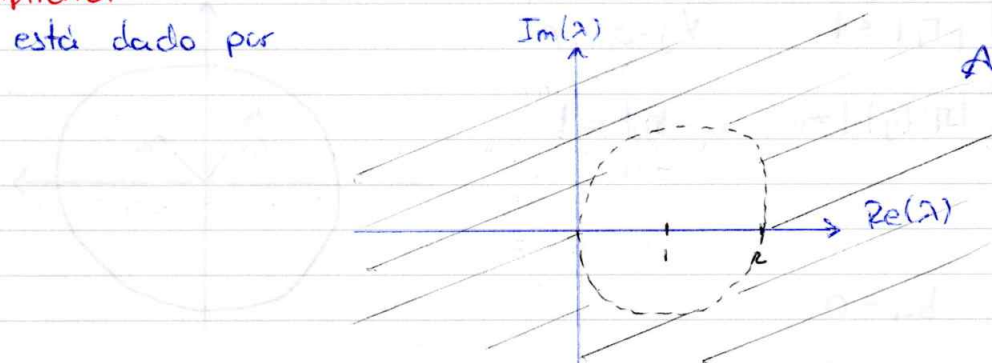
Euler explícito

Su A está dado por todos los $h\lambda \in \mathbb{C}$ tal que $||1 + \lambda h| < 1$

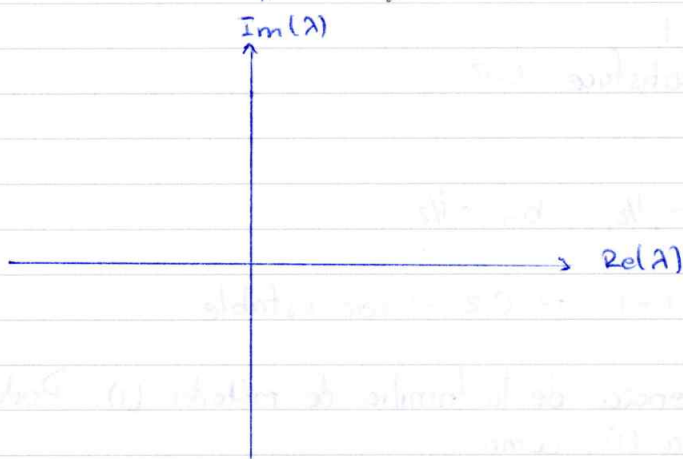


Euler implícito.

Su A está dado por



→ Crank-Nicholson



Lunes, 21 de febrero de 2022.

Pasos múltiples

¿Cómo obtener un mayor orden de convergencia?

Métodos a pasos múltiples

Los métodos para resolver el problema de Cauchy de pasos múltiples se pueden escribir como la siguiente familia.

$$u_{n+1} = \sum_{j=0}^p a_j u_{n-j} + h \sum_{j=0}^p b_j f_{n-j} + h b_{-1} f_{n+1}, \quad n = p, p+1, p+2, \dots \quad (1)$$

donde $\{a_k\}$ y $\{b_k\}$ son constantes que definen al método, $p \geq 0$ y $p+1$ denota el número de pasos.

- $p = 0$

$$u_{n+1} = a_0 u_n + h b_0 f_n + b_{-1} h f_{n+1}$$

$$a_0 = 1, b_0 = 1, b_{-1} = 0 \quad \text{EULER EXPLICITO}$$

$$p=1$$

$$u_{n+1} = a_0 u_n + a_1 u_{n-1} + h(b_0 f_n + b_1 f_{n-1}) + h b_{-1} f_{n+1}$$

$$u_0 = y_0$$

$$u_1 = y_1 \quad \text{Usar métodos a un paso}$$

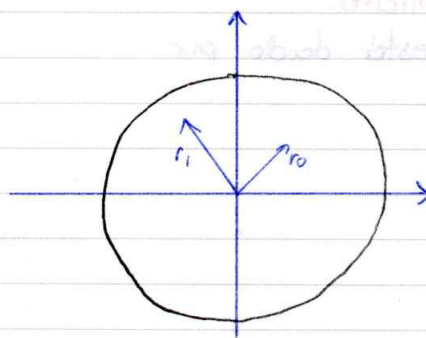
$$u_k = a_0 u_k + a_1 u_{k-1}$$

Ahora, una herramienta para analizar estos métodos a pasos múltiples es el **PRIMER POLINOMIO CARACTERISTICO** del método.

$$\pi(r) = r^{p+1} - \sum_{j=0}^p a_j r^{p-j} \quad (2)$$

de donde, notaremos a sus raíces como $r_j, j=0, \dots, p$. Decimos que (1) es **cero estable** si se satisface la condición de las raíces

$$\left| \begin{array}{l} |r_j| \leq 1 \quad \forall j=0, \dots, p \\ |\pi'(r_j)| \neq 0 \quad \text{si } |r_j| = 1 \end{array} \right.$$



Euler explícito

$$p=0, a_0=1, b_0=1, b_{-1}=0$$

$$\pi(r) = r + a_0 = r + 1$$

$$r_j = -1 \leftarrow \text{satisface C.R.}$$

Crank-Nich

$$p=0, a_0=1, b_0=1/2, b_{-1}=1/2$$

$$\pi(r) = r + a_0 = r + 1 \Rightarrow \text{C.R.} \rightarrow \text{cero estable}$$

Con respecto a la consistencia de la familia de métodos (1). Podemos calcular el error local de truncación para (1), como

$$\tau_n(h) = \frac{1}{h} \left(y_{n+1} - \sum_{j=0}^p a_j y_{n-j} - h \sum_{j=0}^p b_j f(t_{n-j}, y_{n-j}) - h b_{-1} f(t_{n+1}, y_{n+1}) \right) \quad (3)$$

Decimos que el método es consistente si $\tau(h) = \max_n |\tau_n(h)| = C(h)$

Teorema. El método (1) es consistente si satisface las siguientes condiciones algebraicas

$$\sum_{j=0}^p a_j = 1, \quad - \sum_{j=0}^p j a_j + \sum_{j=-1}^p b_j = 1$$

Demostración

Expandiendo en series de Taylor y y f , para algún $n \geq p$

$$y_{n-j} = y_n - j h y_n' + O(h^2)$$

$$f_{n-j} = f_n + O(h)$$

Reemplazando estos valores en el esquema a pasos múltiples, tenemos

$$\begin{aligned}
& y_{n+1} - \sum_{j=0}^p a_j y_{n-j} - h \sum_{j=-1}^p b_j f_{n-j} \quad \rightarrow y'_n = f_n \\
& = y_{n+1} - \sum_{j=0}^p a_j y_{n-j} + h \sum_{j=0}^p j a_j y'_n - \sum_{j=0}^p a_j O(h^2) - h \sum_{j=-1}^p b_j f_n + \sum_{j=-1}^p b_j O(h) \\
& = y_{n+1} - \sum_{j=0}^p a_j y_{n-j} - h y'_n \left(- \sum_{j=0}^p j a_j + \sum_{j=-1}^p b_j \right) - O(h^2) \left(\sum_{j=0}^p a_j - \sum_{j=-1}^p b_j \right)
\end{aligned}$$

Por (3), tenemos que

$$h Z_n(h) = y_{n+1} - \sum_{j=0}^p a_j y_{n-j} - h y'_n \left(- \sum_{j=0}^p j a_j + \sum_{j=-1}^p b_j \right) - O(h^2) \left(\sum_{j=0}^p a_j - \sum_{j=-1}^p b_j \right)$$

Dividiendo para h

$$Z_n(h) = \frac{y_{n+1} - y_n}{h} + \frac{y_n}{h} \left(1 - \sum_{j=0}^p a_j \right) + y'_n \left(\sum_{j=0}^p j a_j - \sum_{j=-1}^p b_j \right) - O(h) \left(\sum_{j=0}^p a_j - \sum_{j=-1}^p b_j \right)$$

Para todo n , $(y_{n+1} - y_n)/h \rightarrow y'_n$ cuando $h \rightarrow 0$, por tanto, el método sería consistente solo si se cumplen las condiciones algebraicas.

Estabilidad absoluta

-> Tomando en cuenta el segundo polinomio característico de (1)

$$G(r) = b_{-1} r^{p+1} + \sum_{j=0}^p b_j r^{p-j}$$

A las raíces de este segundo polinomio característico las notaremos $r_j(h)$

-> Condición absoluta de las raíces

Un método de la familia (1) satisface la condición absoluta de las raíces si existe $h_0 > 0$ tal que

$$|r_j(h\lambda)| < 1, \quad j=0, \dots, p. \quad \forall h > h_0 \quad (4)$$

Ejemplos

$$\begin{aligned}
y' &= f(t, y) \quad \rightarrow \quad y = y_0 + \int_{t_0}^t f(v, y(v)) dv \\
y(t_0) &= y_0
\end{aligned}$$

Existen dos familias de métodos a pasos múltiples

-> Tipo Adams-Bashford

-> Tipo Adams-Moulton

• AB3: Sabemos que $p=2$, orden de convergencia = 3

$$u_{n+1} = u_n + \frac{h}{12} (23f_n - 16f_{n-1} + 5f_{n-2}) \quad (6)$$

Que se obtiene al reemplazar f en (5) por su interpolante polinomial de grado 2 en las nodos t_{n-2}, t_{n-1}, t_n

AM4: Sabemos que $p=2$, orden de convergencia = 4

$$u_{n+1} = u_n + \frac{h}{24} (9f_{n+1} + 19f_n - 5f_{n-1} + f_{n-2})$$

Que se obtiene al reemplazar f en (5) por su interpolante polinomial de grado 3 en los nodos $t_{n-2}, t_{n-1}, t_n, t_{n+1}$

Backward - Difference Formula

BDF2

$$u_{n+1} = \frac{4}{3} u_n - \frac{1}{3} u_{n-1} + \frac{2}{3} h f_{n+1}$$

BDF3

$$u_{n+1} = \frac{18}{11} u_n - \frac{9}{11} u_{n-1} + \frac{2}{11} u_{n-2} + \frac{6h}{11} f_{n+1}$$

Ejemplo: AB3

- ¿Es consistente? ¿Es cero estable?

$$\begin{aligned} \pi(r) &= r^3 + a_0 r^2 + a_1 r + a_2 \\ &= r^3 + r^2 = r^2(r+1) \end{aligned}$$

$$r_0 = r_1 = 0$$

$$r_2 = -1$$

limpe $|a_i|$ C.R. \rightarrow SI \Rightarrow Es cero estable

$$\sum_{j=0}^p a_j = a_0 + a_1 + a_2 = 1$$

$$-\sum_{j=0}^p j a_j + \sum_{j=-1}^p b_j = - (0a_0 + a_1 + 2a_2) + b_{-1} + b_0 + b_1 + b_2$$

$$= b_0 + b_1 + b_2 = \frac{23}{12} - \frac{16}{12} + \frac{5}{12} = 1$$

por ser método explícito

Martes 22 de febrero de 2022

Runge - Kutta.

\rightarrow Métodos a un paso pero con un alto orden de convergencia

\rightarrow Toman algunas evaluaciones de $f(t, y)$ en cada intervalo $[t_n, t_{n+1}]$

Un método Runge-Kutta se puede escribir de la siguiente manera

$$u_{n+1} = u_n + h \sum_{i=1}^s b_i k_i, \quad n \geq 0$$

donde

$$k_i = f(t_n + c_i h, u_n + h \sum_{j=1}^s a_{ij} k_j) \quad i=1, 2, \dots$$

Con s el número de ETAPAS del método.

Los coeficientes $\{a_{ij}\}, \{b_i\}, \{c_i\}$ definen al método

\rightarrow Se especifican utilizando un Butcher array

$$\begin{array}{c|c} c & A \\ \hline & b^T \end{array}$$

donde $A = (a_{ij}) \in \mathbb{R}^{s \times s}$, $b = (b_1, \dots, b_s)^T$, $c = (c_1, \dots, c_s)^T \in \mathbb{R}^s$

El método Runge-Kutta más conocido es el RK4

$$(2) \quad u_{n+1} = u_n + \frac{h}{6} (k_1 + 2k_2 + 2k_3 + k_4)$$

donde

$$k_1 = f(t_n, u_n) = f_n$$

$$k_2 = f(t_n + h/2, u_n + h/2 k_1)$$

$$k_3 = f(t_n + h/2, u_n + h/2 k_2)$$

$$k_4 = f(t_n + h, u_n + h k_3)$$

0	0	0	0	0
1/2	1/2	0	0	0
1/2	0	1/2	0	0
1	0	0	1	0
	1/6	1/3	1/3	1/6

→ Método explícito de cuarto orden respecto en h.

• RK de dos etapas

$\frac{3-\sqrt{3}}{6}$	1	$\frac{3-2\sqrt{3}}{12}$	4to orden respecto a h.
6	4	12	
$\frac{3+\sqrt{3}}{6}$	$\frac{3+2\sqrt{3}}{12}$	1	
6	12	4	
	$\frac{1}{2}$	$\frac{1}{2}$	

• RK3 (Mejora al método de Euler implícito).

0	0	0	0
1/2	1/2	0	0
1	-1	0	0
	$\frac{1}{6}$	$\frac{2}{3}$	1

Métodos predictor-corrector.

→ Recordando como resolvemos los métodos implícitos

$$u_{n+1} = u_n + h f(t_{n+1}, u_{n+1}) \rightarrow \text{resolver el sistema no lineal}$$

IDEA:

No resolver el sistema no lineal y en su lugar realizar una iteración de punto fijo en cada paso

Crank-Nicolson:

$$u_{n+1}^{(k)} = u_n + \frac{h}{2} (f_n + f(t_{n+1}, u_{n+1}^{(k)})), \quad n \geq 1.$$

Resulta que si escogemos $u_{n+1}^{(0)}$ de manera apropiada, solo necesitamos una sola iteración, e.d. $u_{n+1}^{(1)}$

[*] (Si tomamos $u_{n+1}^{(0)}$ con método explícito de orden p)

→ Si el método global tiene orden p, $u_{n+1}^{(0)}$ con un método explícito de orden p-1 entonces, se satisface [*]

Por ejemplo, podemos usar Euler explícito para inicializar el método de Crank-Nicolson

$$(3) \left\{ \begin{array}{l} u_{n+1}^* = u_n + h f_n \quad \leftarrow \text{Predicción} \\ u_{n+1} = u_n + \frac{h}{2} [f_n + f(t_{n+1}, u_{n+1}^*)] \quad \leftarrow \text{corrección} \end{array} \right.$$

Sistemas de EDO's

Consideremos el siguiente sistema de EDO's de primer orden

$$\begin{cases} y_1' = f_1(t, y_1, \dots, y_m) \\ y_2' = f_2(t, y_1, \dots, y_m) \\ \vdots \\ y_m' = f_m(t, y_1, \dots, y_m) \end{cases} \quad (1)$$

Donde su solución es $y_1(t), \dots, y_m(t)$ con $t \in (t_0, T]$ con las siguientes condiciones iniciales

$$y_1(t_0) = y_{0,1}, \quad y_2(t_0) = y_{0,2}, \dots, \quad y_m(t_0) = y_{0,m}$$

Puedo aproximar la solución u_1, \dots, u_m por separado

$$\text{Euler explícito} \begin{cases} u_{n+1,1} = u_{n,1} + h f_1(t_n, u_{n,1}, \dots, u_{n,m}) \\ u_{n+1,2} = u_{n,2} + h f_2(t_n, u_{n,1}, \dots, u_{n,m}) \\ \vdots \\ u_{n+1,m} = u_{n,m} + h f_m(t_n, u_{n,1}, \dots, u_{n,m}) \end{cases}$$

El sistema (1) se puede escribir como $Y'(t) = F(t, Y(t))$

$$u_{n+1} = u_n + h (\vartheta F(t_{n+1}, u_{n+1}) + (1-\vartheta)F(t_n, u_n)), n \geq 0$$

→ Propiedades de consistencia, - cero-estabilidad y convergencia se heredan por los sistemas de EDO's

Ahora, consideremos el caso EDO de orden m

$$y^{(m)}(t) = f(t, y, y', y'', \dots, y^{(m-1)}) \quad (2)$$

para $t \in (t_0, T]$, con condiciones iniciales de la forma

$$y(t_0) = y_0, \quad y'(t_0) = y_1, \dots, \quad y^{(m-1)}(t_0) = y_{m-1}$$

Si tomamos $w_1(t) = y(t)$, $w_2(t) = y'(t)$, \dots , $w_m(t) = y^{(m-1)}(t)$

Entonces podemos escribir (2) como un sistema de ecuaciones de primer orden

$$(3) \begin{cases} w_1' = w_2 \\ w_2' = w_3 \\ \vdots \\ w_{m-1}' = w_m \\ w_m' = f(t, w_1, w_2, \dots, w_m) \end{cases}$$

Con condiciones iniciales

$$w_1(t_0) = y_0, \quad w_2(t_0) = y_1, \dots, \quad w_m(t_0) = y_{m-1}$$

Otra forma para sistemas de orden 2.

$$(4) \begin{cases} y''(t) = f(t, y, y') & t \in (t_0, T] \\ y(t_0) = x_0 & y'(t_0) = \beta_0 \end{cases}$$

Podemos aproximarla usando un método numérico (esquema)

Encontrar u_n para $1 \leq n \leq N_h$ tal que

$$y''(t_n) = \frac{u_{n+1} - 2u_n + u_{n-1}}{h^2} = f(t_n, u_n, v_n) \quad \forall n \geq 1 \quad (5)$$

Con $u_0 = x_0$, $v_0 = \beta_0$ y v_n representa una aproximación de la primera derivada

$$v_n = \frac{u_{n+1} - u_{n-1}}{2h} \quad \text{con } v_0 = \beta_0 \quad (6)$$

(5) y (6) es el método LEAP-FROG orden 2.

Vienes 4 de marzo de 2022.

Ejercicio 1. Dado el siguiente problema Cauchy

$$\frac{dy}{dt} = \sqrt{t^2 + y^2} \quad \forall t \in [-1, 1]$$

¿Existe una solución única a este problema?

Solución

$$\begin{aligned} |f(t, y_1) - f(t, y_2)| &= |\sqrt{t^2 + y_1^2} - \sqrt{t^2 + y_2^2}| = \frac{|\sqrt{t^2 + y_1^2} - \sqrt{t^2 + y_2^2}| (\sqrt{t^2 + y_1^2} + \sqrt{t^2 + y_2^2})}{\sqrt{t^2 + y_1^2} + \sqrt{t^2 + y_2^2}} \\ &= \frac{|t^2 + y_1^2 - t^2 - y_2^2|}{\sqrt{t^2 + y_1^2} + \sqrt{t^2 + y_2^2}} \\ &= \frac{|y_1^2 - y_2^2|}{\sqrt{t^2 + y_1^2} + \sqrt{t^2 + y_2^2}} = \frac{|y_1 + y_2| |y_1 - y_2|}{\sqrt{t^2 + y_1^2} + \sqrt{t^2 + y_2^2}} \\ &\leq \frac{(|y_1| + |y_2|) |y_1 - y_2|}{\sqrt{t^2 + y_1^2} + \sqrt{t^2 + y_2^2}} \leq |y_1 - y_2| \end{aligned}$$

Ejercicio 2 Considere el siguiente problema PVI

$$\begin{cases} y''(t) = y(t) & \leadsto p'(t) = \lambda y(t) = -y(t) \\ y(0) = y_0 \\ y'(0) = y_1 \end{cases}$$

Solución

Sea $y'(t) = p(t)$, entonces

$$\begin{cases} p'(t) = y(t) \\ y'(t) = p(t) \end{cases}$$

con las condiciones iniciales

$$\begin{cases} y(0) = y_0 \\ p(0) = y_1 \end{cases}$$

Aplicando el método de Euler al sistema

$$y_{k+1} = y_k + h p_k \quad p_{k+1} = p_k + h y_k$$

y de forma matricial

$$\begin{bmatrix} y_{k+1} \\ p_{k+1} \end{bmatrix} = \begin{bmatrix} 1 & h \\ h & 1 \end{bmatrix} \begin{bmatrix} y_k \\ p_k \end{bmatrix}$$

(Problema modelo)

Iterando el problema

$$\begin{bmatrix} y_1 \\ p_1 \end{bmatrix} = \begin{bmatrix} 1 & h \\ h & 1 \end{bmatrix} \begin{bmatrix} y_0 \\ p_0 \end{bmatrix} = \begin{bmatrix} 1 & h \\ h & 1 \end{bmatrix} \begin{bmatrix} y_0 \\ y_1 \end{bmatrix} = \begin{bmatrix} y_0 + h y_1 \\ y_1 + h y_0 \end{bmatrix}$$

Tomamos $y_1 = -y_0$

$$= \begin{bmatrix} y_0 - h y_0 \\ -y_0 + h y_0 \end{bmatrix} = (1-h) \begin{bmatrix} y_0 \\ y_1 \end{bmatrix}$$

$$\begin{bmatrix} y_2 \\ p_2 \end{bmatrix} = (1-h)^2 \begin{bmatrix} y_0 \\ y_1 \end{bmatrix}$$

⋮

$$\begin{bmatrix} y_k \\ p_k \end{bmatrix} = (1-h)^k \begin{bmatrix} y_0 \\ y_1 \end{bmatrix} \rightarrow (1-h) < 1$$

$\hookrightarrow -1 < 1-h < 1$
 $\hookrightarrow 1 > -1+h > -1$
 $2 > h > 0$

Ejercicio 3. Derive un método Adam-Bashford con paso variable

$$y_{k+1} = y_k + h_k A_k f(t_k, y_k) + h_k B_k f(t_{k+1}, y_{k+1})$$

donde $t_{k+1} = t_k + h_k$, $h_k = \alpha_k h_{k-1}$ usado para aproximar la solución del problema

$$\begin{cases} y'(t) = f(t, y) \\ y(t_0) = y_0 \end{cases}$$

Considerando α_k y h_0 dados, encuentre una expresión para A_k y B_k

Sugerencia: Usar una aproximación lineal de $y'(t)$

Solución

$$y'(t) \approx p(t) = \frac{f(t_k, y_k)(t - t_{k-1}) - f(t_{k-1}, y_{k-1})(t - t_k)}{h_{k-1}}$$

$$y_{k+1} = y_k + \int_{t_k}^{t_{k+1}} f(t, y) dt = y_k + \int_{t_k}^{t_{k+1}} y'(t) dt$$

$$\approx \int_{t_k}^{t_{k+1}} p(t) dt$$

$$y_{k+1} = y_k + \frac{1}{h_{k-1}} \int_{t_k}^{t_{k+1}} f(t_k, y_k)(t - t_{k-1}) dt - \frac{1}{h_{k-1}} \int_{t_k}^{t_{k+1}} f(t_{k-1}, y_{k-1})(t - t_k) dt$$

$$= y_k + \frac{f(t_k, y_k)}{h_{k-1}} \int_{t_k}^{t_{k+1}} (t - t_{k-1}) dt - \frac{f(t_{k-1}, y_{k-1})}{h_{k-1}} \int_{t_k}^{t_{k+1}} (t - t_k) dt$$

$$A_k = \frac{1}{h_k h_{k-1}} \int_{t_k}^{t_{k+1}} (t - t_{k-1}) dt = \frac{1}{h_k h_{k-1}} \int_{h_{k-1}}^{h_k + h_{k-1}} t dt = \frac{(h_k + h_{k-1})^2 - h_{k-1}^2}{2 h_k h_{k-1}} = 1 + \frac{\alpha_k}{2}$$

$$B_k = \frac{1}{h_k h_{k-1}} \int_{t_k}^{t_{k+1}} (t - t_k) dt = \frac{1}{h_k h_{k-1}} \left(\int_{t_k}^{t_{k+1}} t dt - \int_{t_k}^{t_{k+1}} t_k dt \right) = -\frac{\alpha_k}{2}$$